

# ANÁLISIS DE ESTRUCTURAS: EJERCICIOS DE CURSO

*por*

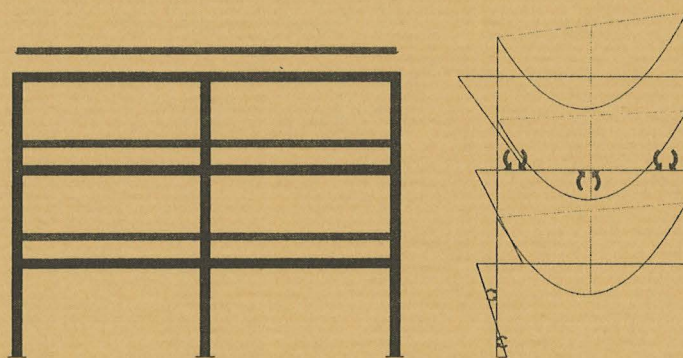
JOSÉ IGNACIO HERNANDO GARCÍA

SANTIAGO HUERTA FERNÁNDEZ

JESÚS ORTIZ HERRERA

LUIS VEGA CATALÁN

[1-41-03]



CUADERNOS  
DEL INSTITUTO  
JUAN DE HERRERA  
DE LA *ESCUELA DE*  
*ARQUITECTURA*  
*DE MADRID*





# ANÁLISIS DE ESTRUCTURAS: EJERCICIOS DE CURSO

*por*

JOSÉ IGNACIO HERNANDO GARCÍA

SANTIAGO HUERTA FERNÁNDEZ

JESÚS ORTIZ HERRERA

LUIS VEGA CATALÁN

[1-41-03]

CUADERNOS  
DEL INSTITUTO  
JUAN DE HERRERA  
DE LA *ESCUELA DE*  
*ARQUITECTURA*  
*DE MADRID*

**CUADERNOS  
DEL INSTITUTO  
JUAN DE HERRERA**

- 0 VARIOS
- 1 ESTRUCTURAS
- 2 CONSTRUCCIÓN
- 3 FÍSICA Y MATEMÁTICAS
- 4 TEORÍA
- 5 GEOMETRÍA Y DIBUJO
- 6 PROYECTOS
- 7 URBANISMO
- 8 RESTAURACIÓN

**NUEVA NUMERACIÓN**

- 1 Área
- 41 Autor
- 03 Ordinal de cuaderno (del autor)

***Análisis de estructuras: Ejercicios de curso***

© 2001 José Ignacio Hernando García

© 2001 Santiago Huerta Fernández

© 2001 Jesús Ortiz Herrera

© 2001 Luis Vega Catalán

Instituto Juan de Herrera.

Escuela Técnica Superior de Arquitectura de Madrid.

Composición y maquetación: Daniel Álvarez Morcillo.

CUADERNO 113.01/ 1-41-03

ISBN: 84-9728-002-4

Depósito Legal: M-38403-2001



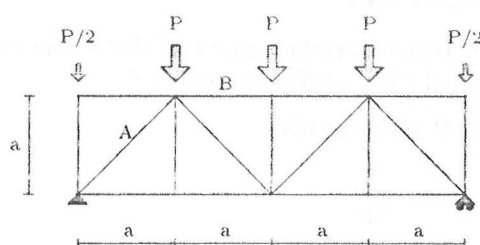
## Capítulo 1

# Estructuras planas trianguladas

### Ejercicio 1.1

La estructura de la figura está formada por barras articuladas en los nudos. Para el estado de cargas indicado, se pide: 1. Valor y signo de las reacciones 2. Valor y signo de los esfuerzos axiles en las barras A y B.

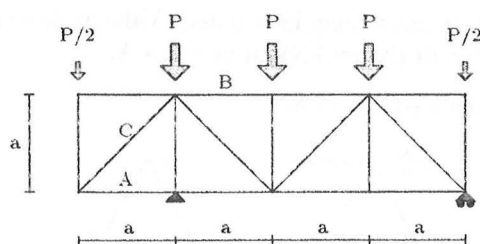
Datos:  $P=(15+Y)$  kN,  $a=2$ m



### Ejercicio 1.2

La estructura de la figura está formada por barras articuladas en los nudos. Para el estado de cargas indicado, se pide: 1. Valor y signo de las reacciones 2. Valor y signo de los esfuerzos axiles en las barras A, B y C.

Datos:  $P=(15+Y)$  kN,  $a=2$ m

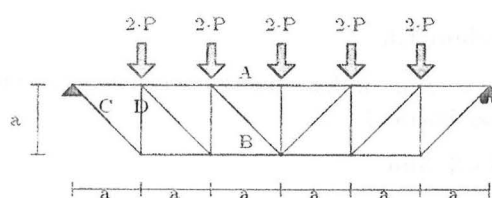


### Ejercicio 1.3

Estructura plana formada por barras articuladas en los nudos. Para el estado de cargas indicado, se pide: 1. Valor y signo de las reacciones. 2. Valor

y signo de los esfuerzos axiles en las barras A, B, C y D.

Datos:  $P=(15+Y)$  kN,  $a=2$ m



### Ejercicio 1.4

Completar el dibujo de la estructura articulada plana de la figura, con dos nudos "a" y "b" y dos apoyos fijos, de manera que:

Para X	Sea
0,1,2,3	isostática
4,5,6	hiperestática
7,8,9	mecanismo

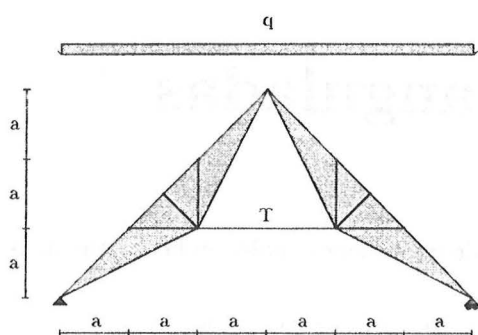
Justificar claramente la respuesta.



**Ejercicio 1.5**

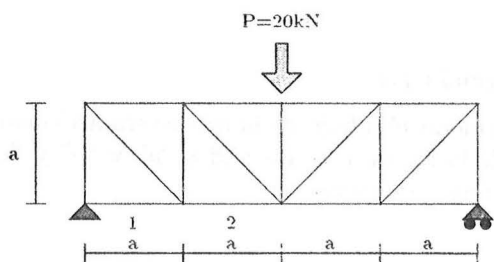
Estructura compuesta por dos sólidos rígidos unidos por una articulación y una barra T. La carga  $q$  está repartida uniformemente en proyección horizontal. Se pide: Valor y signo de las reacciones y del esfuerzo en la barra T.

Datos:  $q=(10+Y)$  kN/m,  $a=5$  m

**Ejercicio 1.6**

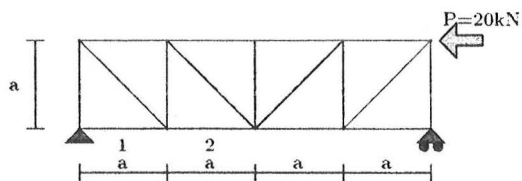
Valor y signo de los esfuerzos normales ( $N$ , en kN) en las barras 1 y 2.

$a=(1+X/5)$  m.

**Ejercicio 1.7**

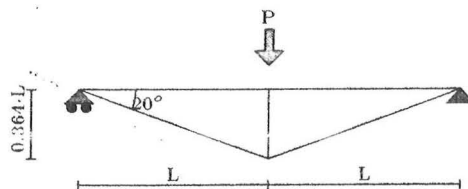
Valor y signo de los esfuerzos normales ( $N$ , en kN) en las barras 1 y 2.

$a=(1+X/5)$  m.

**Ejercicio 1.8**

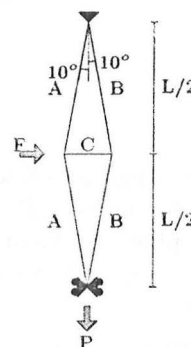
Calcular los esfuerzos ( $N$ , en kN) de las barras de la estructura triangulada de la figura.

$L=5+(X/4)$  m,  $P=20+Y$  kN

**Ejercicio 1.9**

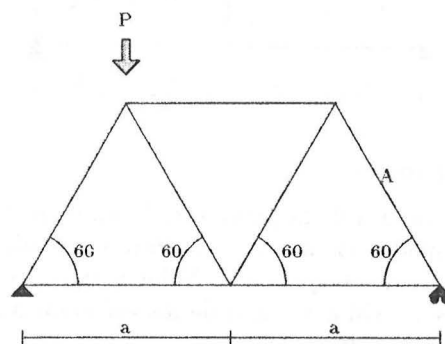
Calcular el peso  $P$  (en kN) estricto para que no se compriman los tensores de la estructura de la figura ( $N=0$  en A)

$L=5+(Y/4)$  m;  $F=20+Z$  kN.

**Ejercicio 1.10**

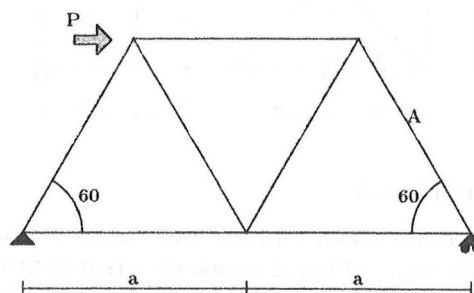
Estructura triangulada plana. Valor y signo del esfuerzo axial ( $N$ , en kN) en la barra A.

Datos  $P=(10+Y)$  kN

**Ejercicio 1.11**

Estructura triangulada plana. Valor y signo del esfuerzo axial ( $N$ , en kN) en la barra A.

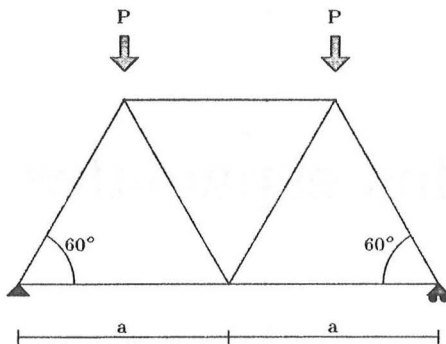
Datos  $P=(10+Y)$  kN



### Ejercicio 1.12

Calcular las reacciones y los axiles de todas las barras de la estructura de la figura

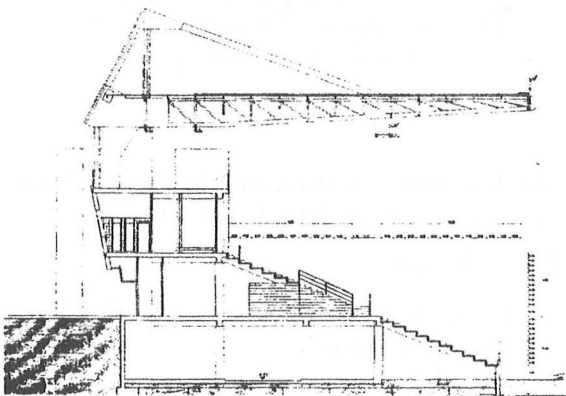
Datos:  $P=(10+Y)$  kN,  $a=4$ m,



### Ejercicio 1.13

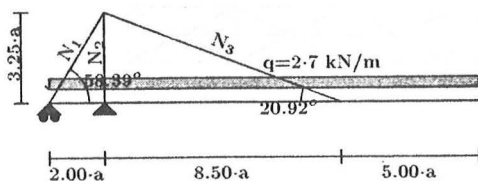
Reacciones de la estructura (real) de la cubierta de la figura.

$a=(2-Y/45)$ m;  $q=2$  kN/m<sup>2</sup> (medida en proyección horizontal); separación entre pórticos 7m.



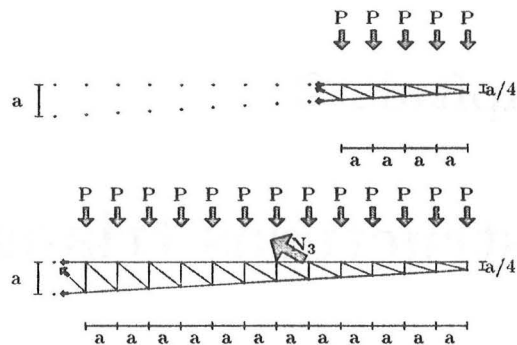
### Ejercicio 1.14

Valor y signo de los esfuerzos normales ( $N$ , en kN), en las barras indicadas:



### Ejercicio 1.15

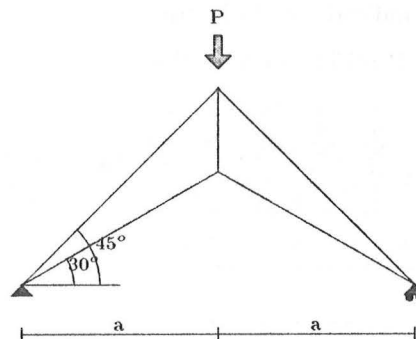
Valor y signo de los esfuerzos normales ( $N$ , en kN), en las barras indicadas:



### Ejercicio 1.16

Calcular las reacciones y los axiles de todas las barras de la estructura que se representa

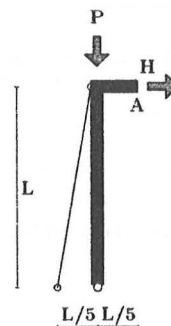
Datos:  $P=(10+Y)$  kN,  $a=5$ m,



### Ejercicio 1.17

Calcular las reacciones y los axiles de todas las barras de la estructura de la figura

Datos:  $P=100$  kN,  $H=1$  kN,  $L=\frac{40+Z}{5}$  m,





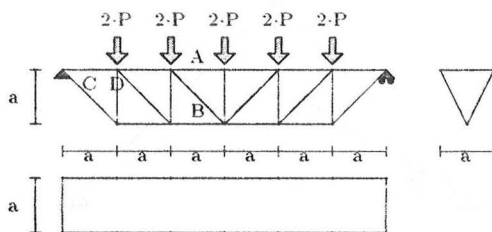
## Capítulo 2

# Estructuras trianguladas espaciales

### Ejercicio 2.1

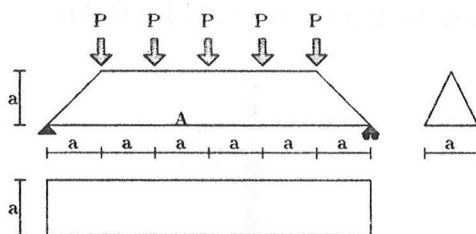
Estructura espacial formada por barras articuladas en los nudos. Para el estado de cargas indicado, se pide: 1. Completar la triangulación de la cara superior 2. Valor y signo de los esfuerzos axiles en las barras indicadas en la figura.

Datos:  $P = (15 + Y)$  kN,  $a = 2$  m



### Ejercicio 2.2

Estructura espacial formada por barras articuladas en los nudos: completar razonadamente la triangulación de las caras laterales e inferior.

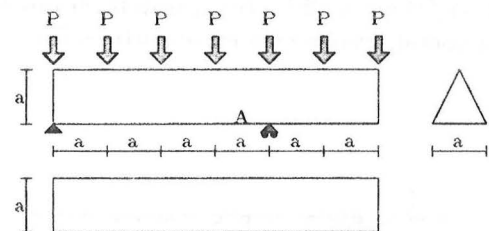


Para la misma estructura anterior: Valor y signo

del esfuerzo axil ( $N$ , en kN) de la barra A

### Ejercicio 2.3

Estructura espacial formada por barras articuladas en los nudos: completar razonadamente la triangulación de las caras laterales e inferior.

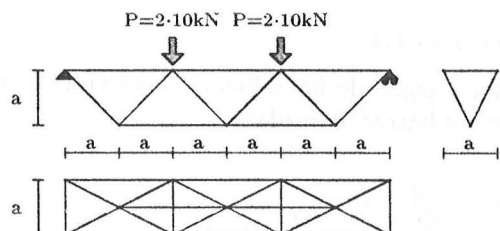


Para la misma estructura anterior: Valor y signo del esfuerzo axil ( $N$ , en kN) de la barra A

### Ejercicio 2.4

Valor y signo de los esfuerzos normales ( $N$ , en kN), de todas las barras.

$a = (1 + X/5)$  m;  $E = 210$  kN/mm<sup>2</sup>;  $A = 2000$  mm<sup>2</sup>



## Capítulo 3

# Cálculo de deformaciones de estructuras trianguladas de barras

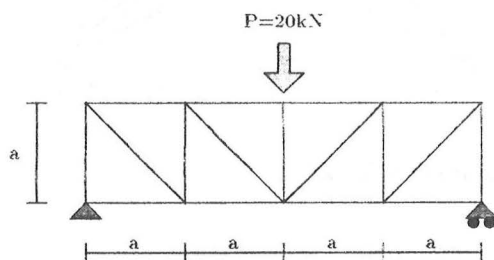
### Ejercicio 3.1

Estructura formada por barras articuladas en los nudos. Para el estado de cargas indicado, se pide:

Calcular el desplazamiento horizontal ( $u$ , en mm) del apoyo derecho.  $1^{\circ} \cdot u = \sum \frac{N \cdot NL}{EA}$ .

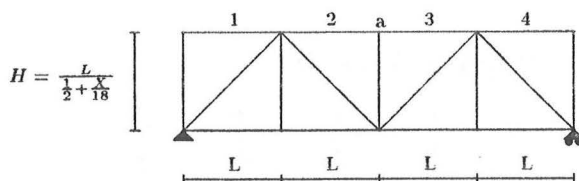
Calcular el desplazamiento vertical ( $v$ , en mm) del nudo en el cual se aplica la carga

$$a = (1 + X/5)m; E = 210 \text{ kN/mm}^2; A = 2000 \text{ mm}^2$$



### Ejercicio 3.2

Detallar el proceso de cálculo de la flecha ( $v$ ) que se produce en el nudo "a" como resultado de un alargamiento térmico  $\Delta L = 25 \cdot 10^{-5} \cdot L$  de las barras del cordón inferior. Se aplicará el Principio del Trabajo Virtual (Teorema de la Carga Unidad).

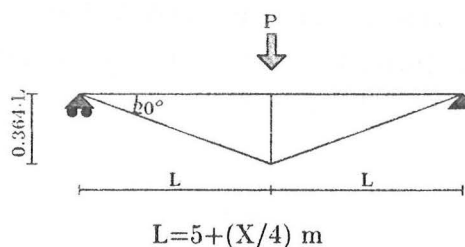


### Ejercicio 3.3

Calcular el desplazamiento vertical ( $v$ , en mm) del nudo donde se aplica la carga.  $1^{\circ} \cdot v = \sum \frac{N \cdot NL}{EA}$ .

Calcular el desplazamiento horizontal del apoyo izquierdo ( $u$ , en mm)

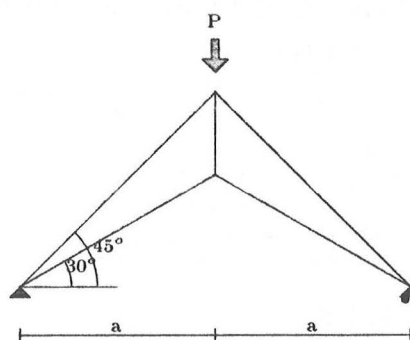
$$L = 5 + (X/4) \text{ m}, P = 20 + Y \text{ kN}; EA = \text{cte} = 400000 \text{ kN}$$



### Ejercicio 3.4

La estructura de la figura está formada por barras articuladas en los nudos. Se pide valor y signo del movimiento horizontal del apoyo derecho. Desplazamiento vertical ( $v$ , en mm) del nudo sobre el cual se aplica la carga

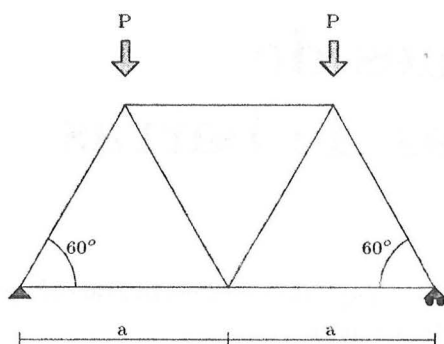
$$\text{Datos: } P = (10 + Y) \text{ kN}, a = 5 \text{ m}, E = 210000 \text{ N/mm}^2$$



## Ejercicio 3.5

Armadura de madera. Su forma y apoyos se han idealizado como se indica en la figura. Los maderos tienen todos la misma escuadría de  $0.300 \times 0.300$  (m). Se pide el valor y signo del movimiento vertical del nudo central del cordón inferior.

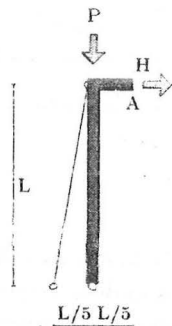
Datos:  $P = (10 + Y)$  kN,  $a = 4$  m,  $E = 20000$  N/mm<sup>2</sup>.



## Ejercicio 3.6

Obtener el desplazamiento horizontal ( $u$ , en mm) del punto A de la estructura de la figura.

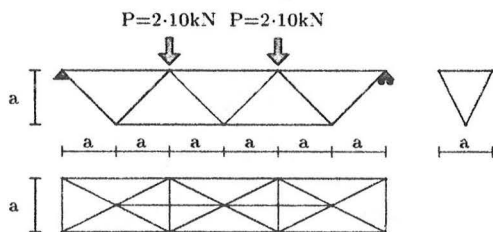
Datos:  $P = 100$  kN,  $H = 1$  kN,  $L = \frac{40+Z}{5}$  m, Biela:  $EA = 100000$  kN, Pilar:  $EI \rightarrow \infty$



## Ejercicio 3.7

Valor y signo de los esfuerzos normales ( $N$ , en kN), de todas las barras. Desplazamiento vertical del nudo central del cordón inferior.

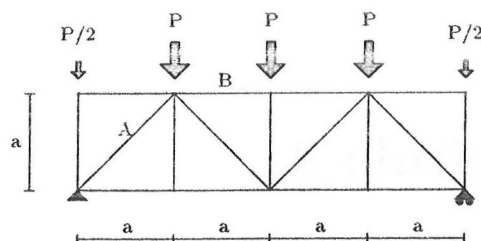
$a = (1 + X/5)$  m;  $E = 210$  kN/mm<sup>2</sup>;  $A = 2000$  mm<sup>2</sup>



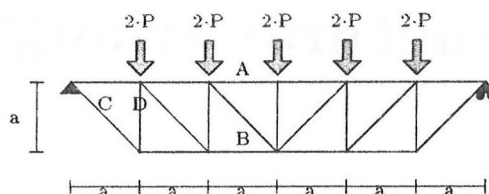
## Ejercicio 3.8

Calcular el movimiento horizontal del apoyo derecho y el vertical del nudo central o del extremo del voladizo de las estructuras que siguen ( $EA = cte$ )

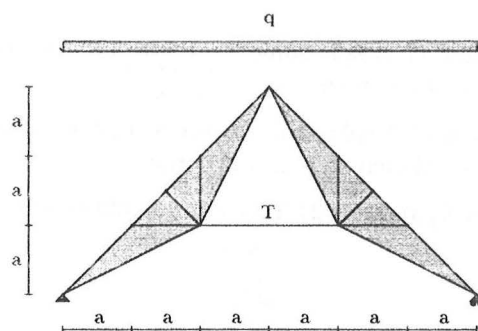
Datos:  $P = (15 + Y)$  kN,  $a = 2$  m



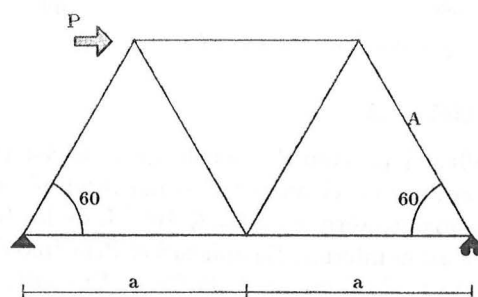
Datos:  $P = (15 + Y)$  kN,  $a = 2$  m



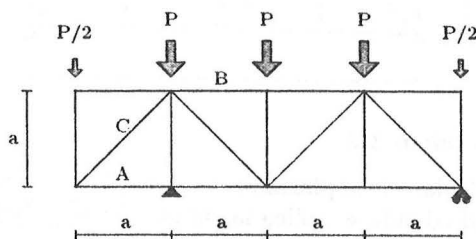
Datos:  $q = (10 + Y)$  kN/m,  $a = 5$  m



Datos  $P = (10 + Y)$  kN



Datos:  $P = (15 + Y)$  kN,  $a = 2$  m





# Teoría de arcos

Estructura principal de la International Rail Terminal (Londres, 1988, Nicholas Grimshaw and Partners). Se pide: 1 Valor y signo de las reacciones. 2 Valor y signo del momento flector, del esfuerzo cortante y del axil en la sección 1. 3 Dibujar la línea de empujes. 4 Dibujar la gráfica de momentos flectores.

Technical drawing of a bridge structure, showing a side elevation and a plan view.

**Side Elevation:** The bridge features a large arch structure supported by multiple piers. The arch is labeled with 'A' and 'B'. The piers are labeled with 'C' and 'D'. The bridge deck is shown with several spans. The drawing includes a scale bar and a north arrow.

**Plan View:** The plan view shows the bridge's footprint with points 1 through 6 marked along the arch. The bridge is divided into sections with lengths of 9,000, 36,000, 4,500, 6,500, 6,750, 11,250, and 11,250. The plan view also includes a scale bar and a north arrow.

**Data Table:**

PENDIENTE, EN GRADOS, DE LA DIRECTRIZ.	78.013	40.069	18.013	7.228	-3.302	-21.5002	-41.987
ORDENADA, EN METROS, DE LA DIRECTRIZ. <td>0.000</td> <td>7.501</td> <td>10.000</td> <td>11.611</td> <td>11.749</td> <td>8.290</td> <td>2.357</td>	0.000	7.501	10.000	11.611	11.749	8.290	2.357
SOBRECARGA							

**Formulas:**

$$\frac{1}{1 + (Y/100)}$$

$$\frac{1}{1 + (Y/100)}$$

Estructura principal del Primer hangar del aeropuerto de Zurich en Kloten. Dimensiones generales 78 m de luz y 14.6 m de altura; la rotula está situada a 15 m del apoyo derecho y a una cota de 9.6 m. Se pide: Valor y signo de las reacciones.

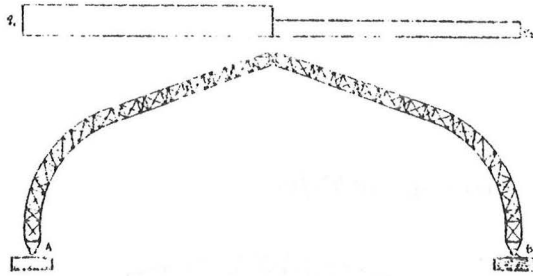
Variación sobre la estructura principal del primer hangar del aeropuerto de Zurich en Kloten.

Variación sobre la estructura principal del primer hangar del aeropuerto de Zurich en Kloten.

**Ejercicio 4.5**

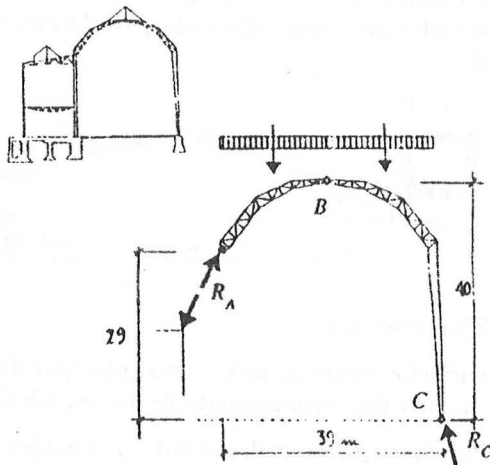
Estructura principal de la Galería de Máquinas (París, Exposición Universal de 1889). Dimensiones generales 111 m de luz y 46 m de altura. Se pide: Valor y signo de las reacciones.

Datos:  $q_1=20 \text{ kN/m}$ ,  $q_2=10 \text{ kN/m}$ .

**Ejercicio 4.6**

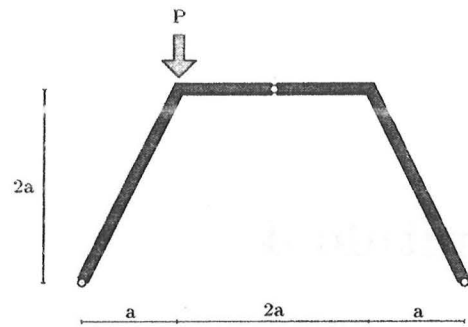
Esquema de la estructura principal de la Fábrica AEG proyectada por Peter Behrens en 1909. Dimensiones generales y estado de carga según figura adjunta. Se pide: Valor y signo de las reacciones.

Datos:  $q=(10+X) \text{ kN/m}$ .

**Ejercicio 4.7**

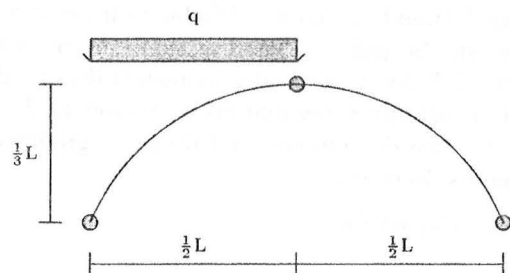
Arco triarticulado. Forma, cargas y dimensiones según figura. Se pide: 1 Valor y signo de las reacciones. 2 Dibujar la línea de empujes. 3 Dibujar la gráfica de momentos flectores. 4 Dibujar la deformada

Datos:  $P=30 \text{ kN}$ ,  $a=2 \text{ m}$ .

**Ejercicio 4.8**

Calcular las reacciones de la estructura de la figura.

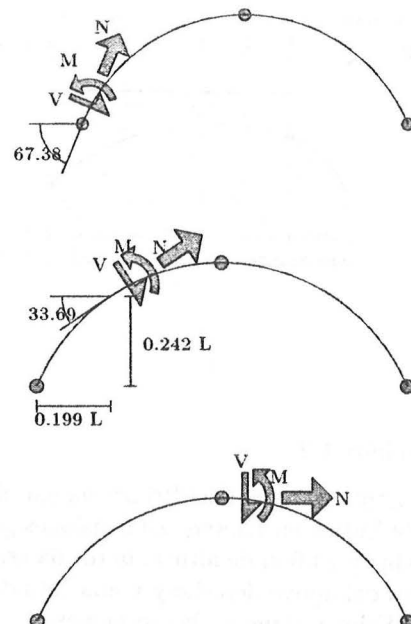
$L=(9+Y/45)\text{m}$ ;  $q=(10+Y)\text{kN/m}$ .



Dibujar el polígono antifunicular.

**Ejercicio 4.9**

Para la misma estructura del ejercicio anterior determinar el valor y signo de los esfuerzos ( $N$ ,  $V$ ,  $M$ ), en las secciones indicadas:

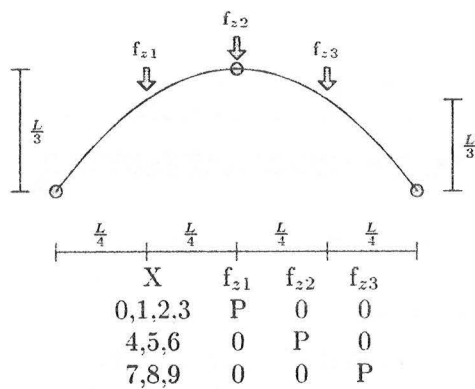


Dibujar y acotar los diagramas de momentos flectores ( $M$ , en  $\text{kNm}$ ), esfuerzos normales ( $N$ , en  $\text{kN}$ ) y cortantes ( $V$ , en  $\text{kN}$ )

#### Ejercicio 4.10

Para el arco isostático de la figura se pide:

1. Reacciones
2. Polígono antifunicular (se admitirán dibujos a mano alzada siempre que se aprecien aproximadamente las relaciones de igualdad/desigualdad y signos de las diversas magnitudes)
3. Indicar aproximadamente en que sección se produce el máximo momento flector



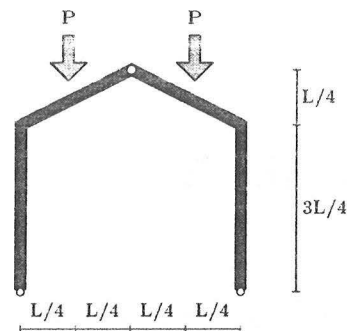
Los resultados se dejarán indicados en función de  $P$  y  $L$ .

#### Ejercicio 4.11

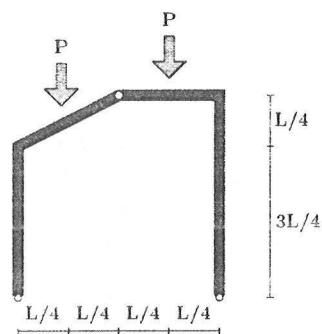
Para las estructuras representadas, se pide:

- 1 Valor y signo de las reacciones. 2 Dibujar la línea de presiones/empujes. 3 Dibujar la gráfica de momentos flectores. 4 Dibujar la deformada

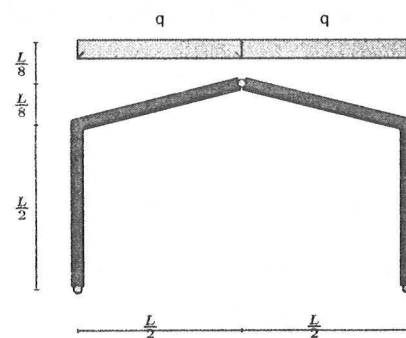
Datos  $P=(10+Y)\text{kN}$ ,  $L=\frac{40+Z}{5}\text{ m}$ .



Datos  $P=(10+Y)\text{kN}$ ,  $L=\frac{40+Z}{5}\text{ m}$ .



Datos:  $L=10\text{ m}$ ,  $q=15+X/2\text{ kN/m}$





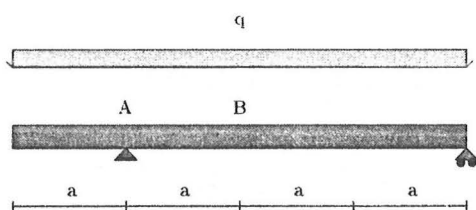
## Capítulo 5

# Solicitaciones en vigas y pórticos isostáticos

### Ejercicio 5.1

Para la viga de la figura, se pide: 1. Valor y signo de las reacciones. 2. Valor y signo del flector en los puntos A y B. 3. Diagramas acotados de momentos flectores y esfuerzos cortantes.

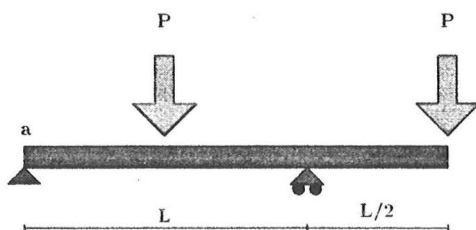
Datos:  $a=2\text{m}$ ,  $q=7.5+Y/2 \text{ kN/m}$



### Ejercicio 5.2

Para la viga de la figura, se pide: 1. Valor y signo de las reacciones. 2. Diagramas acotados de momentos flectores y esfuerzos cortantes.

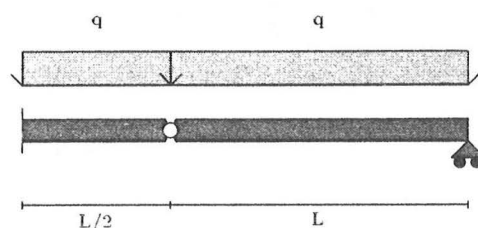
Datos:  $P=(75+X) \text{ kN}$ ,  $L=6 \text{ m}$ ,  $EI=\text{cte.}$



### Ejercicio 5.3

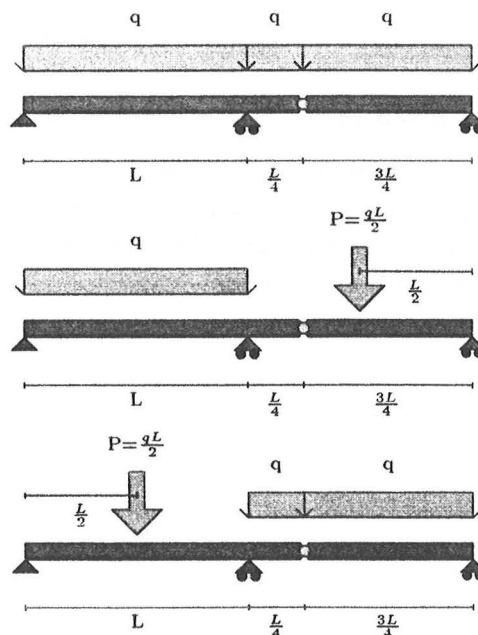
Dibujar los diagramas acotados de momentos flectores y esfuerzos cortantes de la viga de la figura.

Datos:  $q=10 \text{ kN/m}$ ,  $L=4 \text{ m}$ .



### Ejercicio 5.4

Para la viga Gerber de la figura dibujar los diagramas de solicitaciones ( $V$ ,  $M$ ) acotando sus valores más significativos.

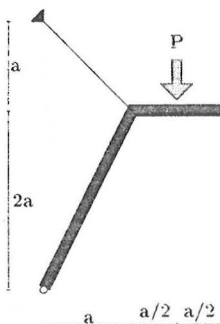


Los resultados se expresarán en función de  $q$  y  $L$ .

**Ejercicio 5.5**

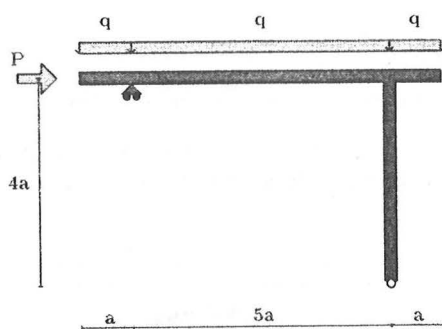
Pórtico isostático. Forma, cargas y dimensiones según figura. Se pide: Dibujar y acotar los diagramas de momentos flectores, esfuerzos cortantes y axiles. Dibujar la deformada

Datos:  $P=30 \text{ kN}$ ,  $a=(2+Y/25) \text{ m}$ .

**Ejercicio 5.6**

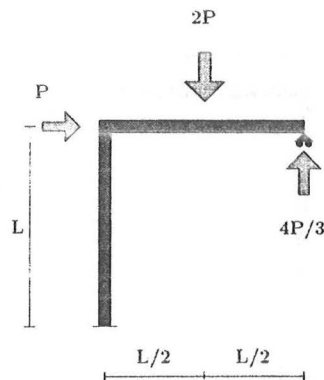
Pórtico isostático. Forma, cargas y dimensiones según figura. Se pide: Dibujar y acotar los diagramas de momentos flectores, esfuerzos cortantes y axiles. Dibujar la deformada

Datos:  $P=50 \text{ kN}$ ,  $q=10 \text{ kN/m}$ ,  $a=(1+Z/30) \text{ m}$

**Ejercicio 5.7**

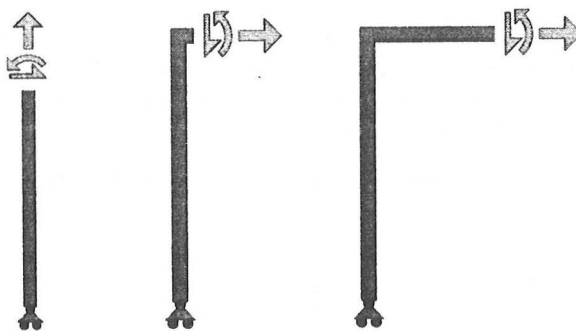
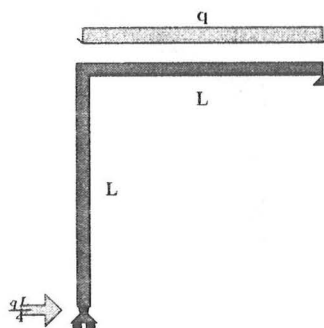
Representar y acotar los diagramas de solicitaciones ( $M$ , en  $\text{kNm}$ ;  $V$ , en  $\text{kN}$ ;  $N$ , en  $\text{kN}$ ) del pórtico hiperestático de la figura, conociendo el valor de la reacción en el apoyo derecho.

$L=5+(X/4) \text{ m}$ ,  $P=20+Y \text{ kN}$

**Ejercicio 5.8**

Para el pórtico isostático representado en la figura, se pide: Calcular las reacciones y los esfuerzos ( $M$ ,  $N$ ,  $V$ ) en las secciones indicadas.

$L=5+(Y/4) \text{ m}$ ;  $q=40+2\cdot Z \text{ kN/m}$ .

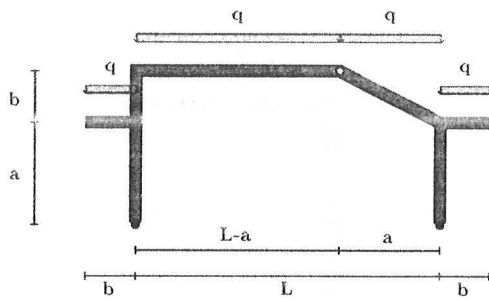


Dibujar y acotar los valores más significativos de los diagramas de momentos flectores ( $M$ , en  $\text{kNm}$ ), esfuerzos cortantes ( $V$ , en  $\text{kN}$ ) y axiles ( $N$ , en  $\text{kN}$ )

**Ejercicio 5.9**

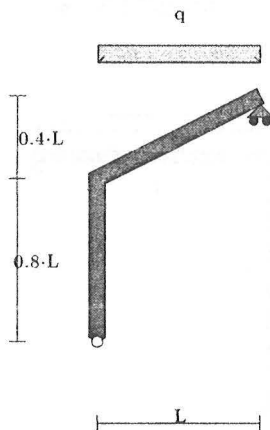
Acotar el diagrama de flectores ( $M$ , en  $\text{kNm}$ ) del pórtico de la figura

$L=15+Z \text{ m}$ ;  $a=L/3$ ;  $b=L/6$ ;  $q=10+X \text{ kN}$

**Ejercicio 5.10**

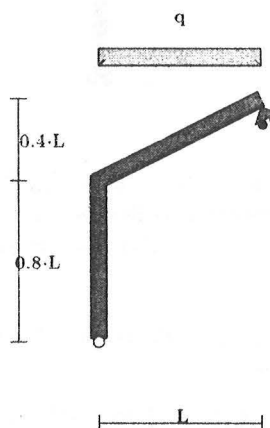
Pórtico isostático. Forma, cargas y dimensiones según figura. Se pide: Dibujar y acotar los diagramas de momentos flectores, esfuerzos cortantes y axiales. Dibujar la deformada

Datos:  $L=5+(X/9)$  m,  $q=35$  kN/m,  $EI=\text{cte.}$

**Ejercicio 5.11**

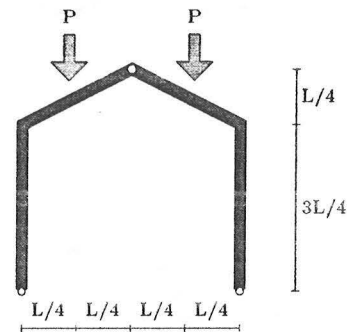
Pórtico isostático. Forma, cargas y dimensiones según figura. Se pide: Dibujar y acotar los diagramas de momentos flectores, esfuerzos cortantes y axiales. Dibujar la deformada

Datos:  $L=5+(X/9)$  m,  $q=35$  kN/m,  $EI=\text{cte.}$

**Ejercicio 5.12**

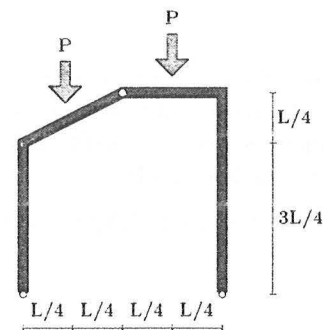
Pórtico isostático: Dibujar y acotar los diagramas de solicitaciones (M, V y N)

Datos  $P=(10+Y)$  kN,  $L=\frac{40+Z}{5}$  m.

**Ejercicio 5.13**

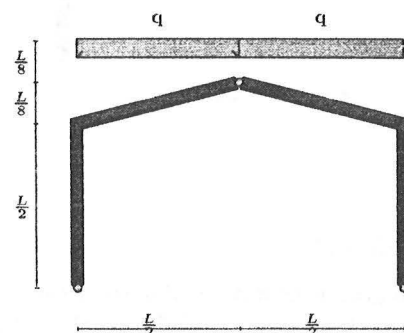
Pórtico isostático: Dibujar y acotar los diagramas de solicitaciones (M, V y N)

Datos  $P=(10+Y)$  kN,  $L=\frac{40+Z}{5}$  m.

**Ejercicio 5.14**

Para el pórtico triarticulado de la figura se pide:

Cálculo de las reacciones. Diagrama de momentos flectores acotando los valores más significativos



Los resultados se expresarán en función de q y L.



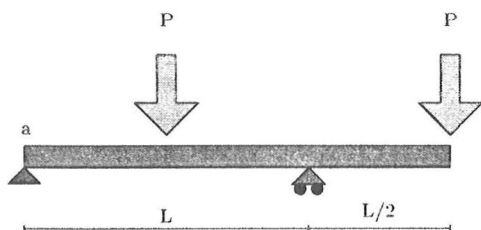
## Capítulo 6

# Deformaciones en vigas y pórticos: Método de la carga unidad

### Ejercicio 6.1

Obtener el giro del nudo a de la viga de la figura y el movimiento vertical de los dos puntos donde actúan las cargas

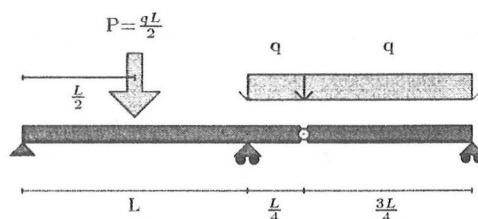
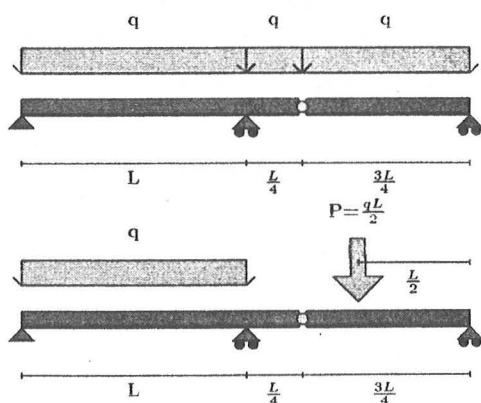
Datos:  $P=(75+X)$  kN,  $L=6$  m,  $EI=\text{cte.}$



### Ejercicio 6.2

Para la viga Gerber de la figura calcular el movimiento vertical en el centro de la viga izquierda (v), mediante el Teorema de la Carga Unidad.

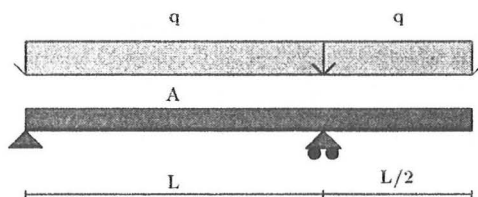
Datos:  $q=30$  kN/m,  $L=(5+Z/30)$  m,  $EI=\text{cte}$



### Ejercicio 6.3

Obtener la flecha (v, en m) del punto A de la viga de la figura, utilizando en caso necesario un formulario y/o una tabla de integrales. Determinar el giro de los dos apoyos.

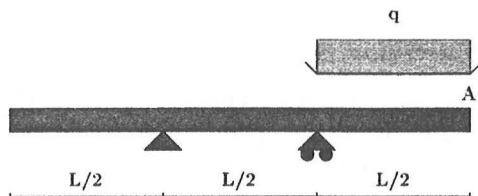
$q=10$  kN/m,  $L=\frac{40+Z}{5}$  m,  $EI=15000$  kN·m<sup>2</sup>



### Ejercicio 6.4

Obtener la flecha (v, en m) del punto A de la viga de la figura, utilizando en caso necesario un formulario y/o una tabla de integrales. Determinar el giro de los dos apoyos.

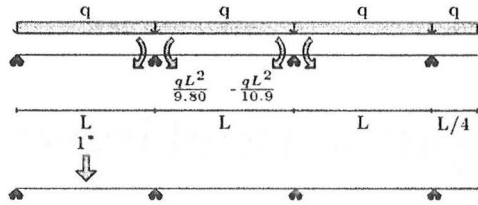
$q=10$  kN/m,  $L=\frac{40+Z}{5}$  m,  $EI=15000$  kN·m<sup>2</sup>



**Ejercicio 6.5**

Calcular la flecha ( $v$ ) en el centro del vano izquierdo de la viga de la figura mediante el Teorema de la Carga Unidad.

$$L=5+(Y/4) \text{ m}; q=20+Z \text{ kN}; EI=\text{cte.}$$



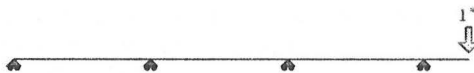
Idem mediante formulación explícita (empleando las formulas de flechas de vigas isostáticas)

**Ejercicio 6.6**

Para la misma viga, calcular la flecha ( $v$ ) en el centro del vano derecho.

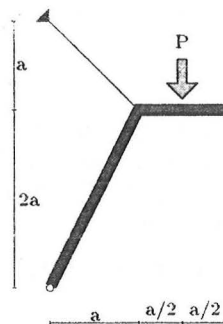
**Ejercicio 6.7**

Idem en el extremo del voladizo.

**Ejercicio 6.8**

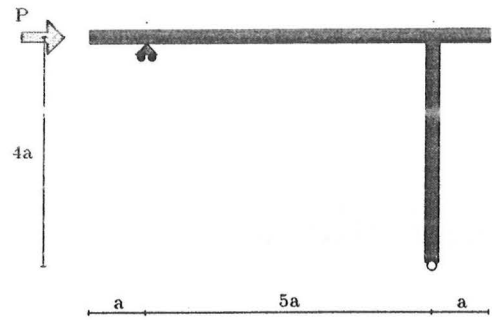
Pórtico isostático. Forma, cargas y dimensiones según figura. Se pide: Movimiento vertical ( $v$ ) del extremo del voladizo (los resultados se expresarán en función del área ( $A$ ) del cable y la inercia ( $I$ ) común para el soporte y el voladizo).

$$\text{Datos: } P=30 \text{ kN}, a=(2+Y/25) \text{ m}, E=\text{cte.}$$

**Ejercicio 6.9**

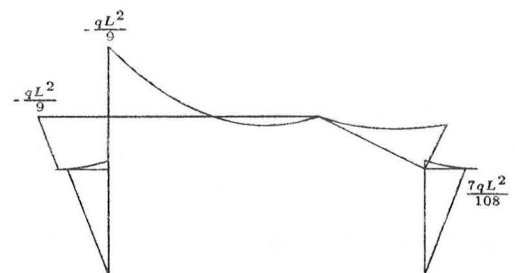
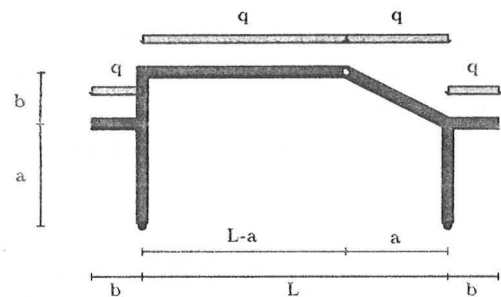
Pórtico isostático. Forma, cargas y dimensiones según figura. Se pide: Dibujar la deformada. Movimiento horizontal ( $u$ ) de la viga.

$$\text{Datos: } P=50 \text{ kN}, a=(1+Z/30) \text{ m}, EI=\text{cte.}$$

**Ejercicio 6.10**

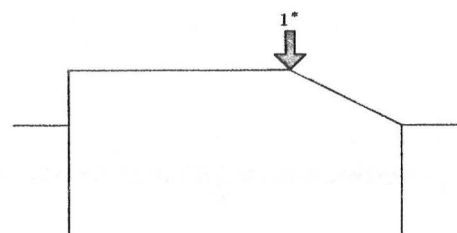
Acotar el diagrama de flectores ( $M$ , en kNm) del pórtico de la figura

$$L=15+Z \text{ m}; a=L/3; b=L/6; q=10+X \text{ kN}$$



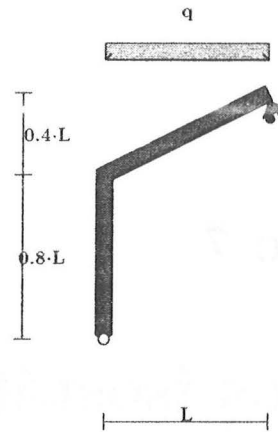
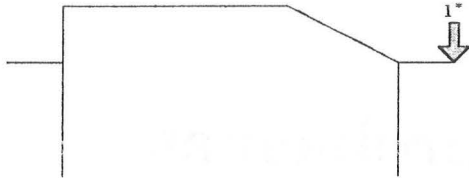
Calcular la flecha ( $v$ , en mm) en el punto indicado utilizando el Teorema de la Carga Unidad.

$$I_{sop}=67120 \text{ cm}^4; I_{vig}=154600 \text{ cm}^4$$



### Ejercicio 6.11

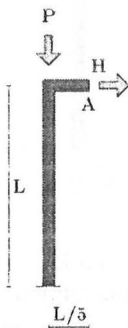
Para el mismo pórtico, calcular la flecha ( $v$ , en mm) en el punto indicado utilizando el Teorema de la Carga Unidad.



### Ejercicio 6.12

Obtener el desplazamiento horizontal ( $u$ , en mm) del punto A de la estructura de la figura.

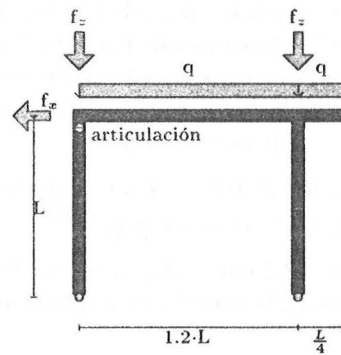
Datos:  $P=100$  kN,  $H=1$  kN,  $L=\frac{40+Z}{5}$  m,  $EI=15000$  kN·m<sup>2</sup>



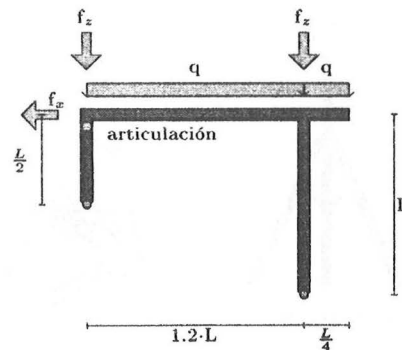
### Ejercicio 6.14

Obtener el movimiento horizontal del dintel de los pórticos siguientes:

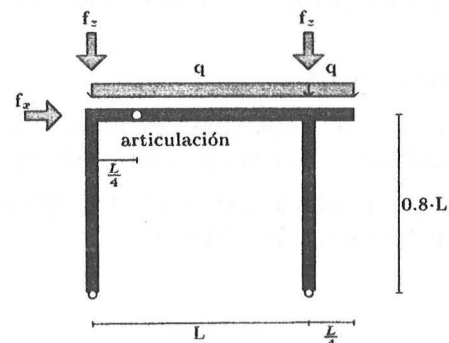
$L=4$  m;  $q=1.5 \cdot (40+Y)$  kN/m;  $f_x=q \cdot L/10$ ;  $f_z=5 \cdot q \cdot L$ ; Soportes y viga HEB300 ( $I=25170$  cm<sup>4</sup>);



$L=4$  m;  $q=1.5 \cdot (40+Y)$  kN/m;  $f_x=q \cdot L/10$ ;  $f_z=5 \cdot q \cdot L$ ; Soportes y viga HEB300 ( $I=25170$  cm<sup>4</sup>);



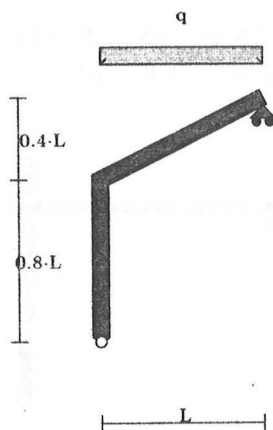
$L=5$  m;  $q=1.5 \cdot (40+Y)$  kN/m;  $f_x=q \cdot L/10$ ;  $f_z=5 \cdot q \cdot L$ ; Soportes y viga HEB300 ( $I=25170$  cm<sup>4</sup>);



### Ejercicio 6.13

Calcular el movimiento del apoyo derecho de las estructuras representadas en las figuras

Datos:  $L=5+(X/9)$  m,  $q=35$  kN/m,  $EI=cte$ .



## Capítulo 7

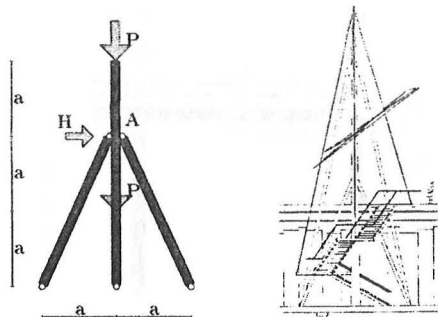
# Pórticos isostáticos: problemas no-lineales (inestabilidad, pandeo)

### Ejercicio 7.1

Análisis de segundo orden de la estructura de la figura. Se pide: Movimiento horizontal del punto A del fuste ( $u$ , en m), según la teoría de segundo orden. Valor de la carga crítica ( $P_{cri}$ , en kN). Verificar el valor de la constante  $K$ .

Datos:  $a = (6 + Z/10)$  m;  $P = 1.5 \cdot 50$  kN;  $H = 1.5 \cdot 1$  kN;  $e_0 = L/150$ ;  $H = K \cdot u$ ;  $K = \frac{1}{11.18} \frac{EA}{a}$ ;

$A_{jabalcon} = 10.2 \text{ cm}^2$ ;  $EI_{fuste} \rightarrow \infty$ ;  $EA_{fuste} \rightarrow \infty$ ; se despreciará la contribución del jabalcón comprimido.

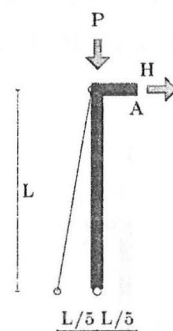


(Variación sobre un proyecto de S. Pérez Arroyo, Oviedo 2001).

### Ejercicio 7.2

Obtener el desplazamiento horizontal ( $u$ , en mm) del punto A de la estructura de la figura.

Datos:  $P = 100$  kN,  $H = 1$  kN,  $L = \frac{40+Z}{5}$  m, Biela:  $EA = 100000$  kN, Pilar:  $EI \rightarrow \infty$

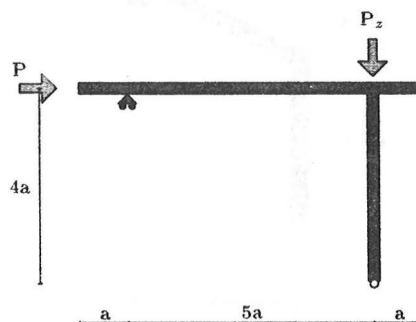


Carga crítica ( $P_{cri}$ , en kN) aproximada del problema anterior y desplazamiento horizontal ( $u$ , en m) para  $P = 100$  kN, según la teoría de segundo orden.

### Ejercicio 7.3

Análisis de segundo orden de la estructura de la figura. Se pide: Movimiento horizontal del dintel ( $u$ , en m), según la teoría de segundo orden. Valor de la carga crítica  $P_{cri}$ . Valor de las "acciones equivalentes de segundo orden"  $H'$ . Diagrama acotado de momentos flectores.

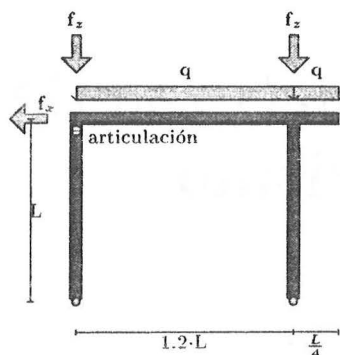
Datos:  $P = 1.5 \cdot 50$  kN;  $P_z = 1.5 \cdot 500$  kN;  $a = (1 + Z/30)$  m;  $e_0 = L/150$ ;  $u = \frac{48 \cdot a^3}{EI} P$ .



**Ejercicio 7.4**

Análisis de segundo orden del pórtico de la figura: Calcular el movimiento horizontal del dintel ( $u$  en mm).

$L=4$  m;  $q=1.5 \cdot (40+Y)$  kN/m;  $f_x=q \cdot L/10$ ;  $f_z=5 \cdot q \cdot L$ ; Soportes y viga HEB300 ( $I=25170$  cm<sup>4</sup>);  $e_0=25$  mm.



Verificar:  $f_x=K \cdot u$ ;  $K = \frac{1}{0.733} \frac{EI}{L^3}$ ;  $u_q = -\frac{1}{16.8} \frac{q \cdot L^4}{EI}$

Calcular el movimiento horizontal del dintel ( $u$  en mm)

Calcular  $q_{cri}$

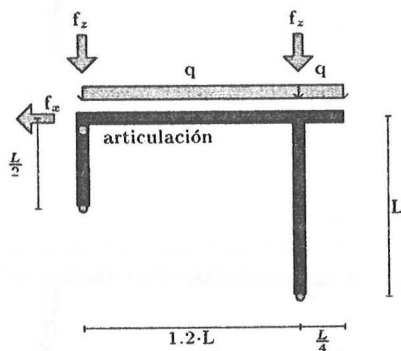
Dibujar y acotar los diagramas de solicitaciones ( $M$ ,  $N$ ,  $V$ ) de "primer orden" de la estructura

Dibujar y acotar el diagrama de momentos flectores ( $M$ ) de "segundo orden" de la estructura

**Ejercicio 7.5**

Análisis de segundo orden del pórtico de la figura: Calcular el movimiento horizontal del dintel ( $u$  en mm).

$L=4$  m;  $q=1.5 \cdot (40+Y)$  kN/m;  $f_x=q \cdot L/10$ ;  $f_z=5 \cdot q \cdot L$ ; Soportes y viga HEB300 ( $I=25170$  cm<sup>4</sup>);  $e_0=25$  mm.



Verificar:  $f_x=K \cdot u$ ;  $K = \frac{1}{0.733} \frac{EI}{L^3}$ ;  $u_q = -\frac{1}{16.8} \frac{q \cdot L^4}{EI}$

Calcular el movimiento horizontal del dintel ( $u$  en mm)

Calcular  $q_{cri}$

Dibujar y acotar los diagramas de solicitaciones ( $M$ ,  $N$ ,  $V$ ) de "primer orden" de la estructura

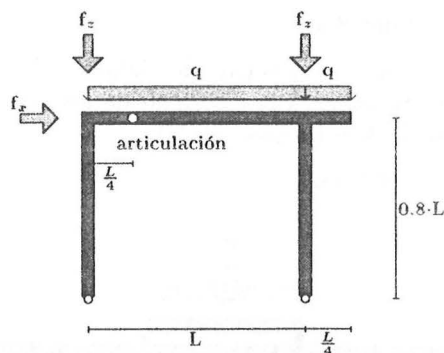
Dibujar y acotar el diagrama de momentos flectores ( $M$ ) de "segundo orden" de la estructura

**Ejercicio 7.6**

Pórtico isostático triarticulado. Se pide: Calcular el movimiento horizontal del dintel ( $u$  en mm), según la teoría de segundo orden. Calcular el valor de la carga crítica ( $q_{cri}$ )

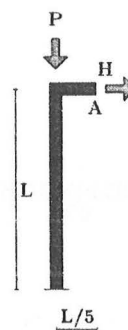
$L=5$  m;  $q=1.5 \cdot (40+Y)$  kN/m;  $f_x=q \cdot L/10$ ;  $f_z=5 \cdot q \cdot L$ ; Soportes y viga HEB300 ( $I=25170$  cm<sup>4</sup>);  $e_0=25$  mm.

$$f_x=K \cdot u; K = \frac{1}{0.2} \frac{EI}{L^3}; u_q = \frac{1}{67.12} \frac{q \cdot L^4}{EI}$$

**Ejercicio 7.7**

Obtener el desplazamiento horizontal ( $u$ , en mm) del punto A de la estructura de la figura.

Datos:  $P=100$  kN,  $H=1$  kN,  $L=\frac{40+Z}{5}$  m,  $EI=15000$  kN·m<sup>2</sup>



Carga crítica ( $P_{cri}$ , en kN) aproximada del problema anterior y momento flector máximo ( $M$ , en kN·m) para  $P=100$  kN, según la teoría de segundo orden.

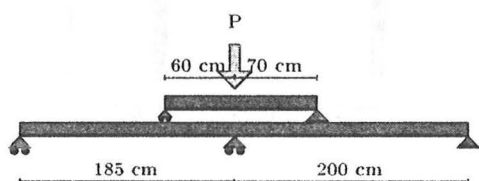
## Capítulo 8

# Cálculo elástico de estructuras de un solo grado de hiperestatismo

### Ejercicio 8.1

Esquema de ensayo de laboratorio (curso 98/99). Se pide: Valor y signo de las reacciones. Diagramas de esfuerzos (M, V)

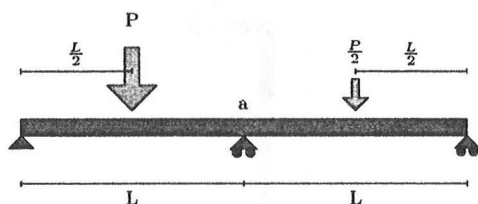
Datos:  $EI = \text{cte.}$



### Ejercicio 8.2

Se analiza la viga continua representada en la figura, por el método de compatibilidad.

$L = 6 + Y/9$  m;  $P = 105$  kN; IPE400 ( $I = 23130 \text{ cm}^4$ )



Dibujar y acotar los diagramas de solicitaciones (M, V). Calcular el movimiento vertical del punto central de la viga izquierda.

### Ejercicio 8.3

Repetir los dos ejercicios anteriores suponiendo un movimiento vertical de  $\pm 1$  cm en el apoyo central. Comparar los diagramas de momentos flectores y justificar sus variaciones.

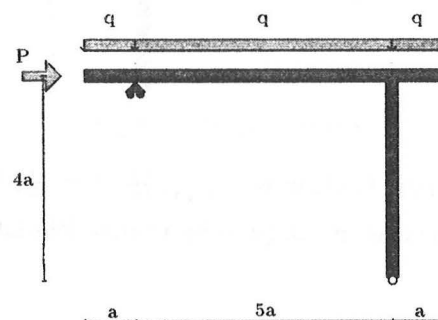
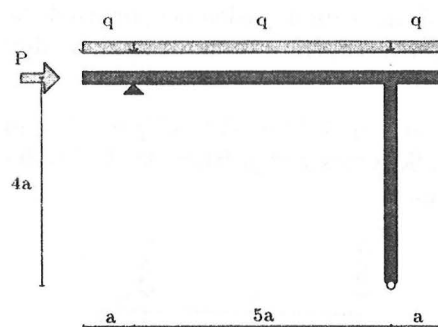
### Ejercicio 8.4

Repetir los dos ejercicios primeros si el movimiento se impone en el apoyo derecho

### Ejercicio 8.5

Pórtico hiperestático. Se pide: Valor y signo de las reacciones. Diagramas de solicitaciones (M, V, N). Se partirá de los resultados (obtenidos en ejercicios previos):  $u_P = \frac{48 \cdot a^3}{EI} P$ ;  $u_q = -\frac{15.84 a^4}{EI} q$  (segunda figura).

Datos:  $P = 50$  kN;  $q = 10$  kN/m;  $a = (1 + (Z/30))$  m

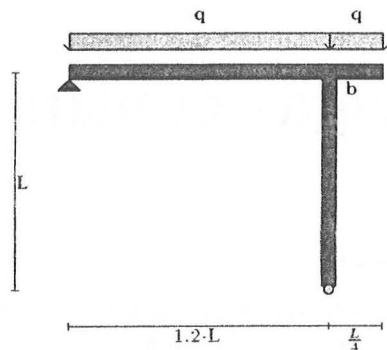




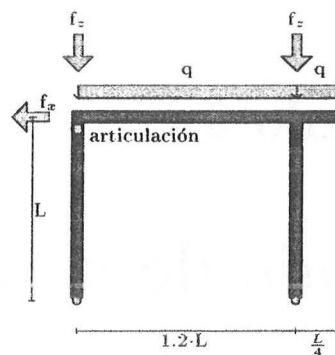
**Ejercicio 8.6**

Para la estructura representada, determinar el valor y el signo de la componente horizontal de la reacción en el apoyo izquierdo

$L=4$  m;  $q=1.5 \cdot (40+Y)$  kN/m; Soportes y viga HEB300 ( $I=25170$  cm<sup>4</sup>)



Puede partirse de los resultados que siguen, obtenidos en un ejercicio previo



$$f_x = K \cdot u; K = \frac{1}{0.733} \frac{EI}{L^3}; u_q = -\frac{1}{16.8} \frac{q \cdot L^4}{EI}$$

Dibujar y acotar los diagramas de solicitaciones (M, V, N)

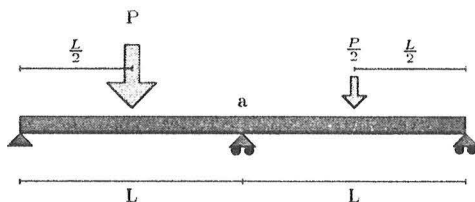
## Capítulo 9

# Método de la rigidez: vigas continuas

### Ejercicio 9.1

Se analiza la viga continua representada en la figura, por el método de equilibrio.

$L=6+Y/9$  m;  $P=105$  kN; IPE400 ( $I=23130$  cm<sup>4</sup>)



Se pide:

Valor y signo de los momentos de empotramiento de ambas vigas (estado [f]).

Escribir la ecuación de equilibrio de momentos del nudo "a".

Escribir las relaciones elásticas entre los momentos en los extremos de las vigas ( $m_2, m_3$ ) y el giro de los mismos ( $\varphi_2, \varphi_3$ )

Escribir las ecuaciones de compatibilidad entre los giros de los extremos de barra antedichos ( $\varphi_2, \varphi_3$ ) y el giro de los nudo "a" ( $\theta_a$ )

Escribir la ecuación de la estructura (se introducen las 2 ecuaciones de compatibilidad en las relaciones elásticas entre momentos y giros en extremo de barras, y éstas en la ecuación de equilibrio).

Valor del giro  $\theta_a$  en radianes

Momentos en los extremos de las barras del estado [u]. Momentos totales en los extremos de las barras (suma de los estados [f] y [u])

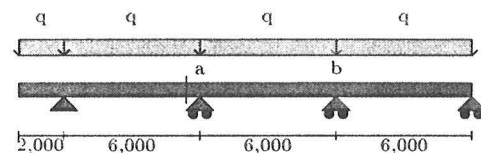
Dibujar y acotar los diagramas de solicitaciones (M, V)

Flecha en el centro de la viga izquierda

### Ejercicio 9.2

Se analiza la viga continua representada en la figura, por el método de equilibrio.

$q=(35+0.5 \cdot X)$  kN/m; ( $I=18263$  cm<sup>4</sup>)



Se pide:

Valor y signo de los momentos de empotramiento de las vigas (estado [f]).

Escribir las ecuaciones de equilibrio de momentos de los nudos "a" y "b".

Escribir las relaciones elásticas entre los momentos en los extremos de las vigas ( $m_2$  a  $m_5$ ) y el giro de los mismos ( $\varphi_2$  a  $\varphi_5$ )

Escribir las ecuaciones de compatibilidad entre los giros de los extremos de barra antedichos ( $\varphi_2$  a  $\varphi_5$ ) y los giros de los nudos ( $\theta_a, \theta_b$ )

Escribir las ecuaciones de la estructura (se introducen las 4 ecuaciones de compatibilidad en las relaciones elásticas entre momentos y giros en extremo de barras, y éstas en las 2 ecuaciones de equilibrio).

Valor de los giros  $\theta_a$  y  $\theta_b$  en radianes

Vector de acciones nodales (f).

Matriz de equilibrio (H).

Matriz constitutiva (D).

Matriz de compatibilidad (B).

Matriz de rigidez de la estructura (K).

Vector de movimientos nodales ( $u$ , giros  $\theta_a$  y  $\theta_b$ )

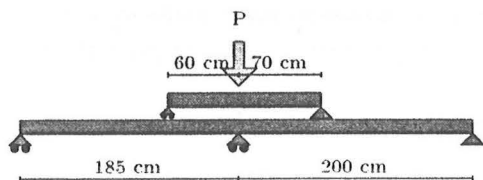
Momentos en los extremos de las barras del estado  $[u]$  ( $s=D \cdot B \cdot u$ ). Momentos totales en los extremos de las barras (suma de los estados  $[f]$  y  $[u]$ :  $s_f + D \cdot B \cdot u$ )

Dibujar y acotar los diagramas de cortantes ( $V$ , en kN) y flectores ( $M$ , en kNm).

### Ejercicio 9.3

Se analiza la viga continua representada en la figura, por el método de equilibrio.

Datos:  $EI = \text{cte}$ .

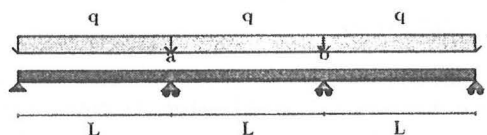


Dibujar y acotar los diagramas de solicitaciones ( $M$ ,  $V$ )

### Ejercicio 9.4

Se analiza la viga continua representada en la figura, por el método de equilibrio.

$L = 6 + Y/9$  m;  $q = 35 + X/3$  kN; IPE400 ( $I = 23130 \text{ cm}^4$ )

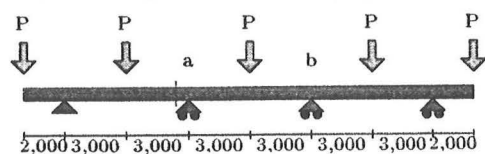


Dibujar y acotar los diagramas de solicitaciones ( $M$ ,  $V$ )

### Ejercicio 9.5

Se analiza la viga continua representada en la figura, por el método de equilibrio.

$P = (200 + 10 \cdot X)$  kN; ( $I = 18263 \text{ cm}^4$ )

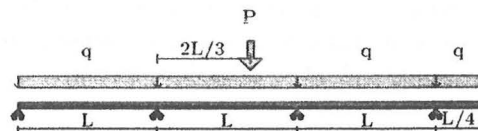


Dibujar y acotar los diagramas de solicitaciones ( $M$ ,  $V$ )

### Ejercicio 9.6

Dibujar y acotar los diagramas de solicitaciones elásticos de la viga de la figura ( $M$ , en kN-m;  $V$  en kN)

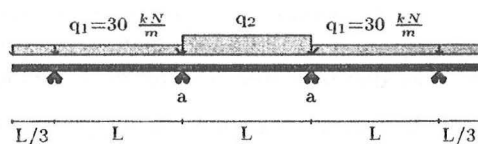
$L = 5 + (Y/4)$  m;  $q = 20 + Z$  kN/m;  $P = q \cdot L/3$ ; sección constante.



### Ejercicio 9.7

Viga continua. Análisis elástico.

$L = 4 + (Z/5)$  m;  $EI = 20000 \text{ kNm}^2$

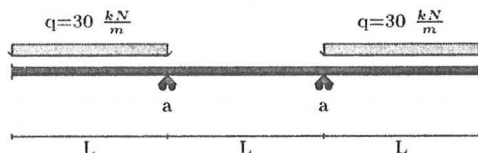


1. Para qué valor de la carga  $q_2$  el giro de los nudos "a" se anula
2. Diagramas de esfuerzos correspondientes ( $V$  en kN,  $M$  en kNm)

### Ejercicio 9.8

Viga continua. Análisis elástico.

$L = 4 + (Z/5)$  m;  $EI = 20000 \text{ kNm}^2$



1. Giro de los nudos a ( $\theta_a$  en rad)
2. Diagramas de esfuerzos ( $V$  en kN,  $M$  en kNm)

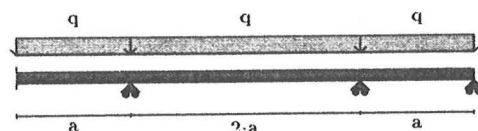
### Ejercicio 9.9

Para la viga continua de la figura, se pide:

Desarrollo del análisis elástico indistintamente por el método de compatibilidad o por el método de la rigidez, debiendo escribirse explícitamente todas las ecuaciones que permiten resolver el problema.

Dibujar la deformada final de forma que se aprecien los sentidos de los movimientos finales de los nudos y el signo de las curvaturas en los diferentes intervalos de las barras.

Datos:  $q = (35 + X/3)$  kN/m;  $a = (3 + Y/9)$  m; sección constante.



Gráficas acotadas de solicitaciones. Para evitar el posible encadenamiento de errores, se tomarán como válidos los momentos de los extremos de las barras que se indican. Se evaluará especialmente el carácter equilibrado de la solución obtenida.



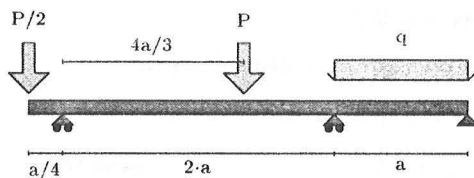
### Ejercicio 9.10

Para la viga continua de la figura, se pide:

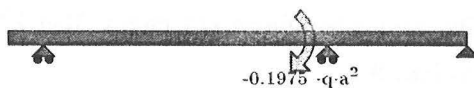
Desarrollo del análisis elástico indistintamente por el método de compatibilidad o por el método de la rigidez, debiendo escribirse explícitamente todas las ecuaciones que permiten resolver el problema.

Dibujar la deformada final de forma que se aprecien los sentidos de los movimientos finales de los nudos y el signo de las curvaturas en los diferentes intervalos de las barras.

Datos:  $q = (35 + X/3) \text{ kN/m}$ ;  $a = (3 + Y/9) \text{ m}$ ;  $P = q \cdot a$ ; sección constante.



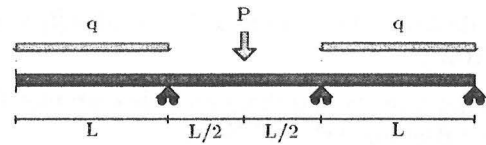
Gráficas acotadas de solicitaciones. Para evitar el posible encadenamiento de errores, se tomarán como válidos los momentos de los extremos de las barras que se indican. Se evaluará especialmente el carácter equilibrado de la solución obtenida.



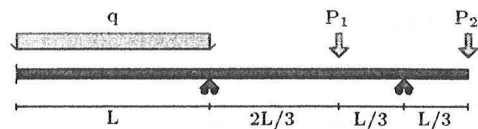
### Ejercicio 9.11

Desarrollo del análisis elástico de las vigas representadas, indistintamente por el método de equilibrio o el de compatibilidad

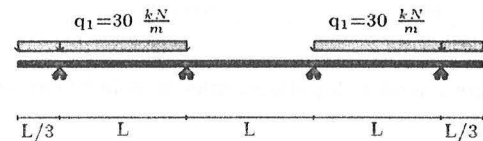
$L = 4 + (X/5) \text{ m}$ ;  $q = 5 \text{ kN/m}$ ;  $P = q \cdot L$ ; Sección constante



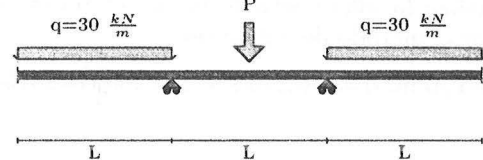
$L = 5 + (X/4) \text{ m}$ ;  $q = 20 + Y \text{ kN/m}$ ;  $P_1 = q \cdot L/3$ ;  $P_2 = q \cdot L/9$ ; Sección constante.



$L = 4 + (Z/5) \text{ m}$ ; sección constante



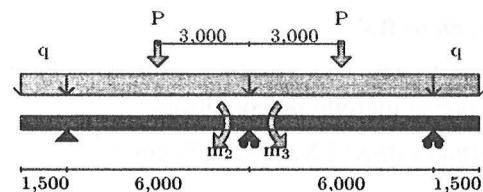
$L = 4 + (Z/5) \text{ m}$ ;  $P = q \cdot L$ ; sección constante



### Ejercicio 9.12

Dibujar y acotar los diagramas de cortantes (V, en kN) y flectores (M, en kNm) de la viga de la figura conocido el momento de extremo de barra  $m_2$ :

$q = 35 \text{ kN/m}$ ;  $P = 0.2 \cdot q \cdot L$ ;  $m_2 = -0.147 \cdot q \cdot L^2$



## Capítulo 10

# Cálculo plástico de vigas hiperestáticas

### Ejercicio 10.1

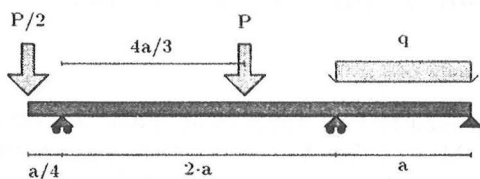
Para la viga continua de la figura, se pide:

Desarrollo del análisis plástico indistintamente por el método estático o cinemático.

Dibujar el mecanismo o mecanismos de colapso, indicando las posiciones de las rótulas plásticas y el sentido de rotación de las mismas.

Dibujar y acotar los diagramas de cortantes ( $V$ , en kN) y flectores ( $M$ , en kNm).

Datos:  $q = (35 + X/3) \text{ kN/m}$ ;  $a = (3 + Y/9) \text{ m}$ ;  $P = q \cdot a$ ; sección constante.



### Ejercicio 10.2

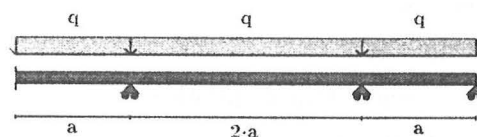
Para la viga continua de la figura, se pide:

Desarrollo del análisis plástico indistintamente por el método estático o cinemático.

Dibujar el mecanismo o mecanismos de colapso, indicando las posiciones de las rótulas plásticas y el sentido de rotación de las mismas.

Dibujar y acotar el/un diagrama de flectores de colapso ( $M$ , en kNm) y el correspondiente de cortantes ( $V$ , en kN).

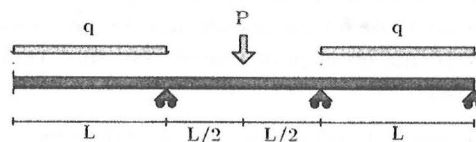
Datos:  $q = (35 + X/3) \text{ kN/m}$ ;  $a = (3 + Y/9) \text{ m}$ ; sección constante.



### Ejercicio 10.3

Dibujar y acotar los diagramas de solicitaciones de colapso ( $M$ , en kN·m;  $V$  en kN)

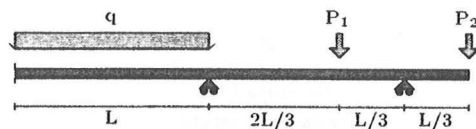
$L = 4 + (X/5) \text{ m}$ ;  $q = 5 \text{ kN/m}$ ;  $P = q \cdot L$ ; Sección constante



### Ejercicio 10.4

Dibujar y acotar los diagramas de solicitaciones de colapso ( $M$ , en kN·m;  $V$  en kN)

$L = 5 + (X/4) \text{ m}$ ;  $q = 20 + Y \text{ kN/m}$ ;  $P_1 = q \cdot L/3$ ;  $P_2 = q \cdot L/9$ ; Sección constante.

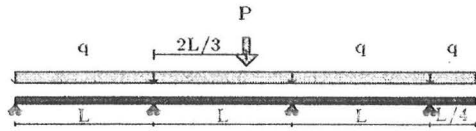


Comparar los diagramas de esfuerzos obtenidos con los "elásticos"

### Ejercicio 10.5

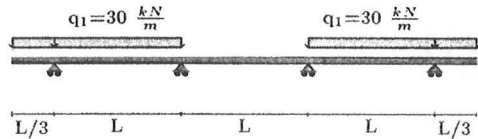
Dibujar y acotar los diagramas de solicitaciones de colapso de la viga de la figura ( $M$ , en kN·m;  $V$  en kN)

$L = 5 + (Y/4) \text{ m}$ ;  $q = 20 + Z \text{ kN/m}$ ;  $P = q \cdot L/3$ ; sección constante.

**Ejercicio 10.6**

Desarrollo del análisis plástico indistintamente por el método estático o cinemático

$$L=4+(Z/5)\text{m}; M_p=\text{cte}$$



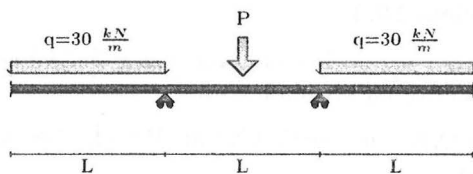
Mecanismo de colapso para  $M_p$  constante.

Diagramas de esfuerzos correspondientes (V en kN, M en kNm)

**Ejercicio 10.7**

Viga continua. Cálculo plástico.

$$L=4+(Z/5)\text{m}; M_p=\text{cte}$$



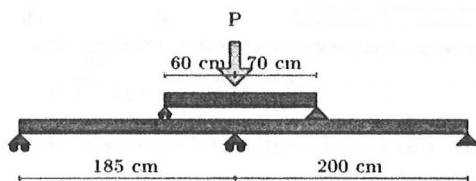
Fijo el valor de  $q$  ( $30 \text{ kN/m}^2$ ), para qué valor mínimo de  $P$  se forma un mecanismo de colapso con una rotula en el punto medio del vano central entre otras.

Diagramas de esfuerzos correspondientes (V en kN, M en kNm)

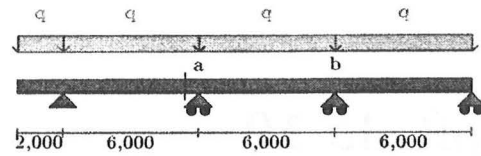
**Ejercicio 10.8**

Desarrollo del análisis plástico de las vigas que se representan, indistintamente por el método estático o cinemático

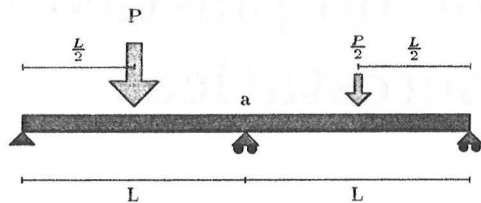
$$M_p=\text{cte}$$



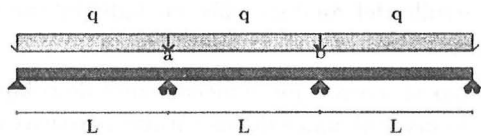
$$q=(35+0.5 \cdot X) \text{ kN/m}; M_p=\text{cte}$$



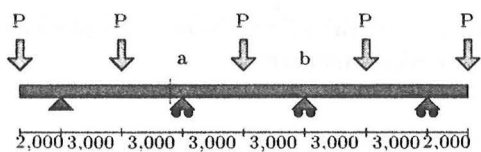
$$L=6+Y/9 \text{ m}; P=105 \text{ kN}; \text{IPE400}$$



$$L=6+Y/9 \text{ m}; q=35+X/3 \text{ kN}; \text{IPE400}$$

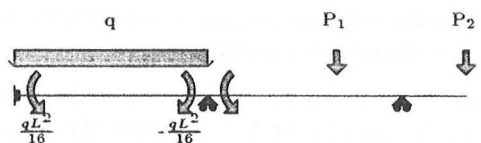


$$P=(200+10 \cdot X) \text{ kN}; M_p=\text{cte}$$

**Ejercicio 10.9**

Representar y acotar los diagramas de solicitaciones (M, en kNm; V, en kN) de la viga continua hiperestática de la figura, conociendo los valores que se indican

$$L=5+(X/4) \text{ m}; q=20+Y \text{ kN/m}; P_1=q L/3; P_2=q L/9.$$





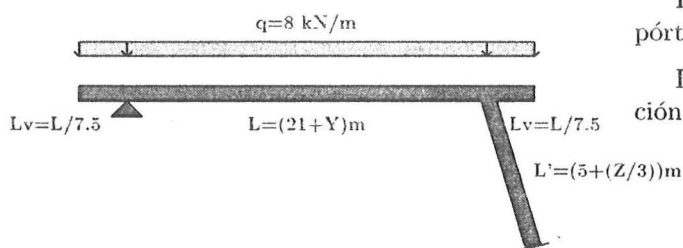
## Capítulo 11

# Cálculo elástico de pórticos no desplazables (arriostrados)

### Ejercicio 11.1

Se analiza el pórtico representado en la figura por el método de equilibrio.

Datos:  $I_x = 750 \cdot (20 + Y)^2 \text{ cm}^4$ .  $I_y = 36656 \text{ cm}^4$



Se pide:

Valor y signo de los momentos de empotramiento de las barras. Vector de acciones nodales (**f**).

Escribir la ecuación de equilibrio de momentos del nudo. Matriz de equilibrio (**H**).

Escribir las relaciones elásticas entre los momentos en los extremos de las vigas ( $m_i$ ) y los giros de los mismos ( $\varphi_i$ ). Matriz constitutiva (**D**).

Escribir las ecuaciones de compatibilidad entre los giros de los extremos de barra antedichos ( $\varphi_i$ ) y el giro del nudo ( $\theta$ ). Matriz de compatibilidad (**B**).

Escribir las ecuaciones de la estructura. Matriz de rigidez de la estructura (**K**).

Valor del giro del nudo,  $\theta$  en radianes. Vector de movimientos nodales (**u**).

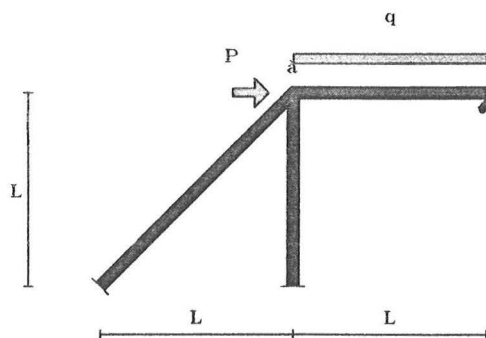
Momentos en los extremos de las barras del estado  $[u]$  ( $s = D \cdot B \cdot u$ ). Momentos totales en los extremos de las barras (suma de los estados  $[f]$  y  $[u]$ :  $s_f + D \cdot B \cdot u$ ).

Dibujar y acotar los diagramas de axiles (N, en kN), cortantes (V, en kN) y flectores (M, en kNm). Verificar el equilibrio del nudo.

### Ejercicio 11.2

Resumir el desarrollo del análisis elástico del pórtico de la figura

$L = 5 + (Y/4) \text{ m}$ ;  $q = 20 + Z \text{ kN/m}$ ;  $P = q \cdot L/4$ ; sección constante.



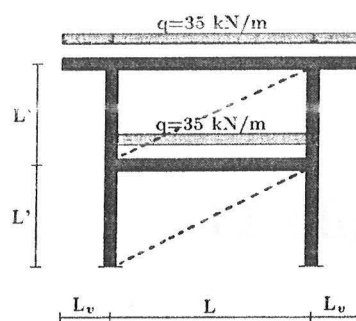
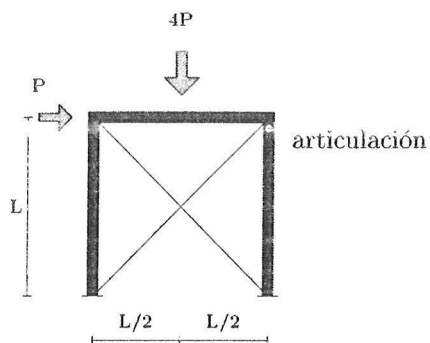
Valor del giro del nudo "a" ( $\theta_a$ )

Dibujar y acotar los diagramas de solicitaciones (M, en kN·m; V en kN; N en kN). Verificar el equilibrio de momentos y fuerzas de los nudos

### Ejercicio 11.3

Resumir el desarrollo del análisis elástico del pórtico de la figura

$L = 5 + (X/9) \text{ m}$ ,  $P = 25 + X \text{ kN}$ ,  $EI = \text{cte}$ .



Dibujar y acotar los diagramas de solicitaciones ( $M$ , en  $\text{kN}\cdot\text{m}$ ;  $V$  en  $\text{kN}$ ;  $N$  en  $\text{kN}$ ). Verificar el equilibrio de momentos y fuerzas de los nudos

#### Ejercicio 11.4

Se analiza el pórtico representado en la figura por el método de equilibrio.

Datos:  $EI_c = 100000 \text{ kNm}^2$ .  $EI_s = 50000 \text{ kNm}^2$ .  $L = 6 + (X/9) \text{ m}$ .  $L_r = L/4$ .  $L' = L/2$ .

Se pide:

Valor y signo de los giros de los nudos. Vector de movimientos nodales ( $\mathbf{u}$ ).

Momentos totales en los extremos de las barras.

Dibujar y acotar los diagramas de axiles ( $N$ , en  $\text{kN}$ ), cortantes ( $V$ , en  $\text{kN}$ ) y flectores ( $M$ , en  $\text{kNm}$ ). Verificar el equilibrio de los nudos.

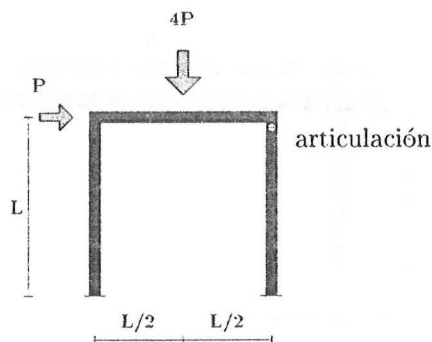
## Capítulo 12

# Cálculo elástico de pórticos desplazables sencillos

### Ejercicio 12.1

Se analiza el pórtico representado en la figura por el método de equilibrio.

Datos:  $L=5+(X/9)$  m,  $P=25+X$  kN,  $EI=15000$  kN·m<sup>2</sup>.



Se pide:

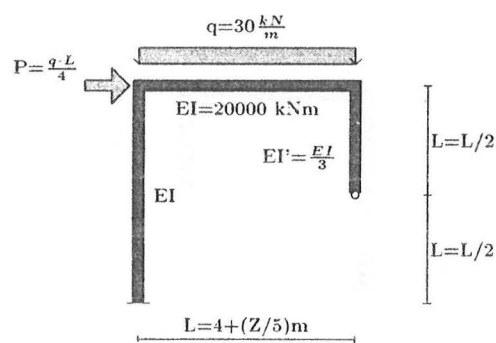
Valor y signo del giro del nudo izquierdo y del movimiento horizontal del dintel (vector de movimientos nodales,  $\mathbf{u}$ ).

Momentos totales en los extremos de las barras ( $\mathbf{s}+\mathbf{s}_f$ ).

Dibujar y acotar los diagramas de axiles (N, en kN), cortantes (V, en kN) y flectores (M, en kNm). Verificar el equilibrio de los nudos.

### Ejercicio 12.2

Se analiza el pórtico representado en la figura por el método de equilibrio.



Se pide:

Vector de movimientos nodales,  $\mathbf{u}$ .

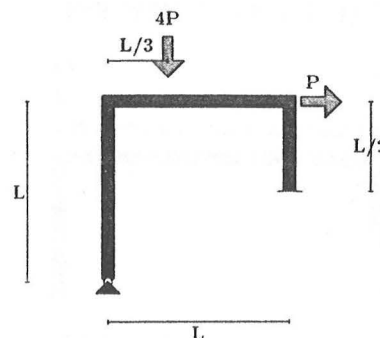
Momentos totales en los extremos de las barras ( $\mathbf{s}+\mathbf{s}_f$ ).

Dibujar y acotar los diagramas de solicitaciones (M, V, N)

### Ejercicio 12.3

Se analiza el pórtico representado en la figura por el método de equilibrio.

$L=5+(X/9)$  m,  $P=25+X$  kN,  $EI=15000$  kN·m<sup>2</sup>.



Se pide:

Valor y signo de los giros y del movimiento horizontal del dintel (vector de movimientos nodales,  $u$ ).

Momentos totales en los extremos de las barras ( $s+s_f$ ).

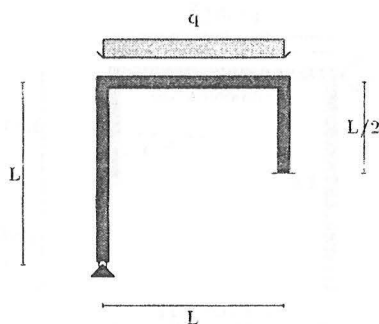
Dibujar y acotar los diagramas de axiles ( $N$ , en kN), cortantes ( $V$ , en kN) y flectores ( $M$ , en kNm).

Verificar el equilibrio de los nudos.

#### Ejercicio 12.4

Idem para la nueva hipótesis de carga representada en la figura.

Nuevos datos:  $q=35+X$  kN/m.



Se pide:

Valor y signo de los giros y del movimiento horizontal del dintel (vector de movimientos nodales,  $u$ ).

Momentos totales en los extremos de las barras ( $s+s_f$ ).

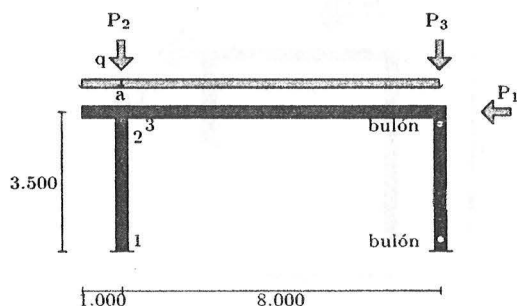
Dibujar y acotar los diagramas de axiles ( $N$ , en kN), cortantes ( $V$ , en kN) y flectores ( $M$ , en kNm).

Verificar el equilibrio de los nudos.

#### Ejercicio 12.5

Se analiza el pórtico representado en la figura, por el método de equilibrio.

$q=(40+X)$  kN/m;  $P_1=(20+X/2)$  kN;  $P_2=50$  kN;  $P_3=100$  kN; ( $I=25179$  cm<sup>4</sup>, HEB 300)

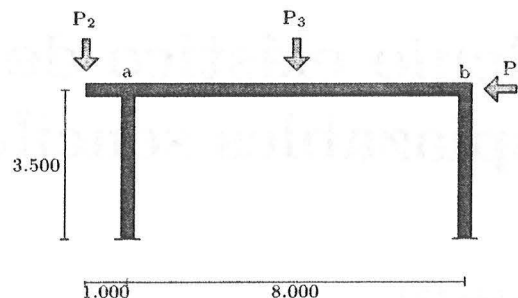


Dibujar y acotar los diagramas de solicitaciones ( $M$ , en kN·m;  $V$  en kN;  $N$  en kN)

#### Ejercicio 12.6

Se analiza el pórtico representado en la figura, por el método de equilibrio.

$P_1=(20+X/2)$  kN;  $P_2=5 \cdot P_1$ ;  $P_3=10 \cdot P_1$ ; ( $I=25179$  cm<sup>4</sup>, HEB 300)

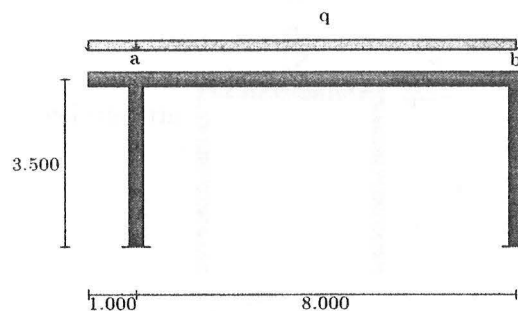


Dibujar y acotar los diagramas de solicitaciones ( $M$ , en kN·m;  $V$  en kN;  $N$  en kN)

#### Ejercicio 12.7

Idem para el pórtico representado en la figura:

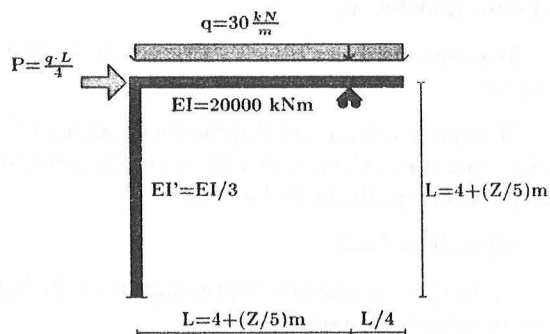
$q=(40+X)$  kN/m; ( $I=25179$  cm<sup>4</sup>, HEB 300)



Dibujar y acotar los diagramas de solicitaciones ( $M$ ,  $V$ ,  $N$ )

#### Ejercicio 12.8

Se analiza el pórtico representado en la figura por el método de equilibrio.

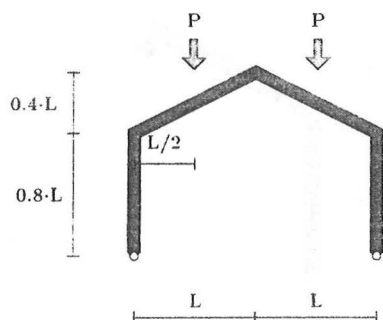


Dibujar y acotar los diagramas de solicitaciones (M, V, N)

### Ejercicio 12.9

Escribir las ecuaciones de equilibrio, las de compatibilidad y las constitutivas para la estructura representada en la figura.

Datos:  $P=(120+3\cdot X)$  kN;  $a=(4+X/10)$ m; sección constante;  $EA=100\cdot EI/L^2$ .



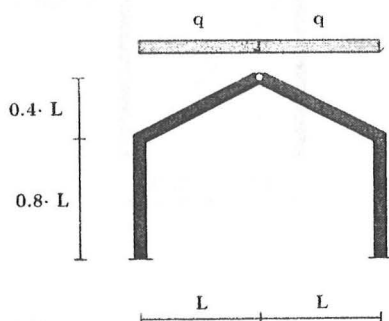
Gráficas acotadas de solicitaciones (M, V, N). Para evitar el posible encadenamiento de errores, se tomarán como válidos los giros y movimientos que se indican

$$\mathbf{u} = [\theta, u, v]^t = \frac{L^2 \cdot P}{EI} \begin{bmatrix} -0.04780 \\ -0.01819 \cdot L \\ 0.05874 \cdot L \end{bmatrix}$$

### Ejercicio 12.10

Escribir las ecuaciones de equilibrio, las de compatibilidad y las constitutivas para la estructura representada en la figura.

Datos:  $q=35$  kN/m;  $a=(4+X/9)$ m; sección constante;  $EA=100\cdot EI/L^2$ .



Gráficas acotadas de solicitaciones (M, V, N). Para evitar el posible encadenamiento de errores, se tomarán como válidos los giros y movimientos que se indican

$$\mathbf{u} = [\theta, u, v]^t = \frac{L^2 \cdot P}{EI} \begin{bmatrix} -0.01580 \\ -0.01926 \cdot L \\ 0.06690 \cdot L \end{bmatrix}$$

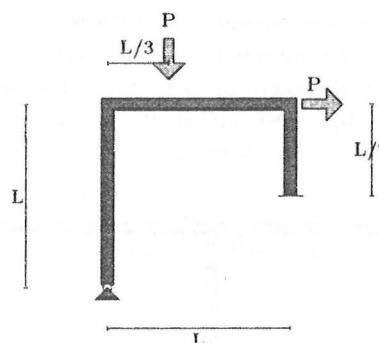
### Ejercicio 12.11

Para el pórtico de la figura, se pide:

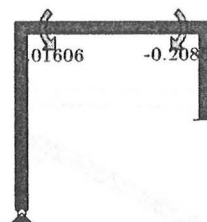
Desarrollo del análisis elástico indistintamente por el método de compatibilidad o por el método de la rigidez, debiendo escribirse explícitamente todas las ecuaciones que permiten resolver el problema.

Dibujar la deformada final de forma que se aprecien los sentidos de los movimientos finales de los nudos y el signo de las curvaturas en los diferentes intervalos de las barras.

Datos:  $P=(100+Y)$ kN;  $L=(5+Y/9)$ m; sección constante.



Gráficas acotadas de solicitaciones. Para evitar el posible encadenamiento de errores, se tomarán como válidos los momentos de los extremos de las barras (multiplicadas por el factor  $P\cdot L$ ) que se indican. Se evaluará especialmente el carácter equilibrado de la solución obtenida.



### Ejercicio 12.12

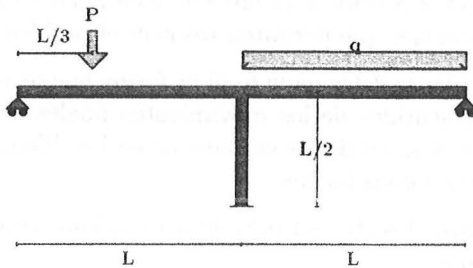
Para el pórtico de la figura, se pide:

Desarrollo del análisis elástico indistintamente por el método de compatibilidad o por el método de la rigidez, debiendo escribirse explícitamente todas las ecuaciones que permiten resolver el problema.

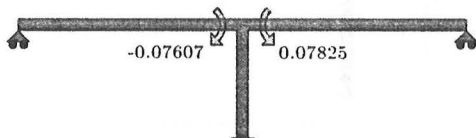
Dibujar la deformada final de forma que se aprecien los sentidos de los movimientos finales de los

nudos y el signo de las curvaturas en los diferentes intervalos de las barras.

Datos:  $P=(100+Y)\text{ kN}$ ;  $L=(5+Y/9)\text{ m}$ ;  $q=P/L$ ; sección constante.



Gráficas acotadas de solicitaciones. Para evitar el posible encadenamiento de errores, se tomarán como válidos los momentos de los extremos de las barras (multiplicadas por el factor  $P \cdot L$ ) que se indican. Se evaluará especialmente el carácter equilibrado de la solución obtenida.

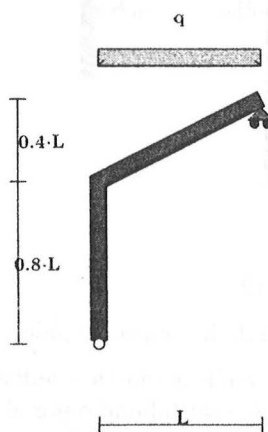


### Ejercicio 12.13

Para el pórtico isostático de la figura, se pide:

Obtener los movimientos y giros de los nudos mediante el método de equilibrio. Diagramas acotados de momentos flectores ( $M$  en  $\text{kNm}$ ), esfuerzos cortantes ( $V$  en  $\text{kN}$ ) y axiles ( $N$  en  $\text{kN}$ ).

Datos:  $L=5+(X/9)\text{ m}$ ,  $q=35\text{ kN/m}$ ,  $EI=\text{cte}$ .

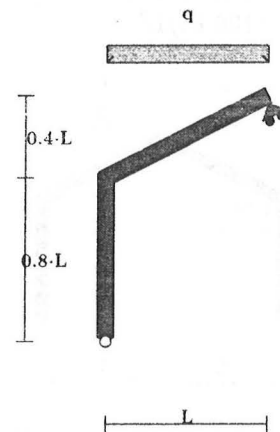


### Ejercicio 12.14

Para el pórtico isostático de la figura, se pide:

Obtener los movimientos y giros de los nudos mediante el método de equilibrio. Diagramas acotados de momentos flectores ( $M$  en  $\text{kNm}$ ), esfuerzos cortantes ( $V$  en  $\text{kN}$ ) y axiles ( $N$  en  $\text{kN}$ ).

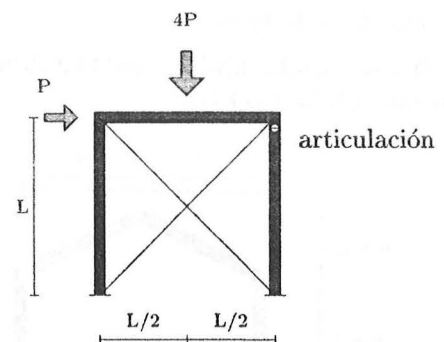
Datos:  $L=5+(X/9)\text{ m}$ ,  $q=35\text{ kN/m}$ ,  $EI=\text{cte}$ .



### Ejercicio 12.15

Resumir el desarrollo del análisis elástico del pórtico de la figura

$L=5+(X/9)\text{ m}$ ,  $P=25+X\text{ kN}$ ,  $EI=\text{cte}$ ,  $EA_{\text{cable}}=10 \cdot (X+1) \cdot EI/L^2$



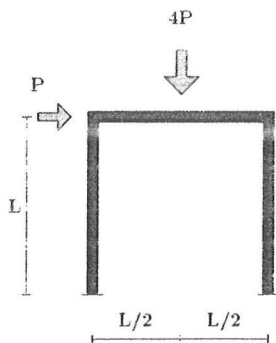
Dibujar y acotar los diagramas de solicitaciones ( $M$ , en  $\text{kN}\cdot\text{m}$ ;  $V$  en  $\text{kN}$ ;  $N$  en  $\text{kN}$ ). Verificar el equilibrio de momentos y fuerzas de los nudos

### Ejercicio 12.16

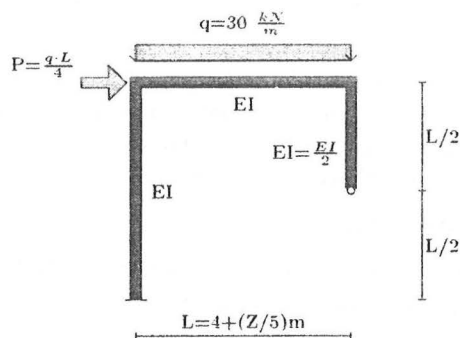
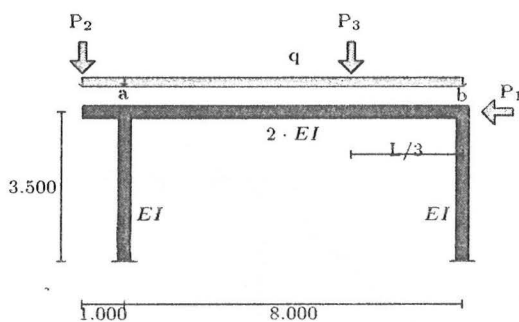
Resumir el desarrollo del análisis elástico de los pórticos de las figuras

Datos:  $L=5+(X/9)\text{ m}$ ,  $P=25+X\text{ kN}$ ,  $EI=\text{cte}$





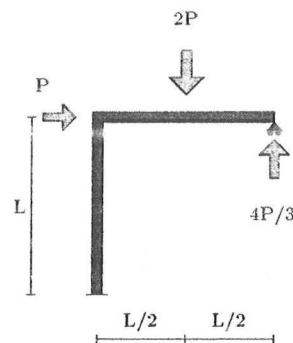
$$P_1 = (20 + X/2) \text{ kN}; \quad P_2 = 5 \cdot P_1; \quad P_3 = 10 \cdot P_1; \\ q = (40 + X) \text{ kN/m}.$$



### Ejercicio 12.17

Representar y acotar los diagramas de solicitaciones (M, en kNm; V, en kN; N, en kN) del pórtico hiperestático de la figura, conociendo el valor de la reacción en el apoyo derecho.

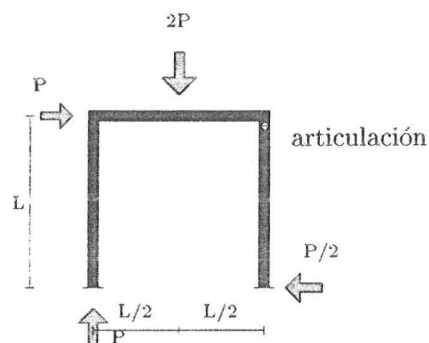
$$L = 5 + (X/4) \text{ m}, \quad P = 20 + Y \text{ kN}$$



### Ejercicio 12.18

Dibujar y acotar los diagramas de M, V y N del pórtico de la figura.

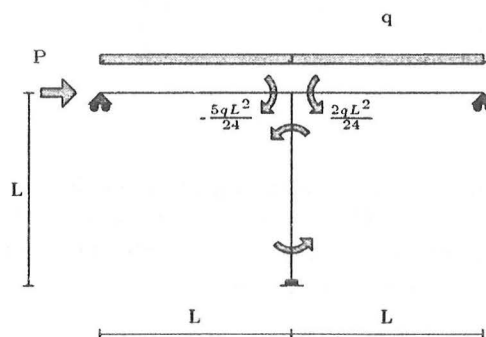
$$L = 5 + (Y/4) \text{ m}; \quad P = 20 + Z \text{ kN}.$$



### Ejercicio 12.19

Representar y acotar los diagramas de solicitaciones (M, en kN·m; V, en kN; N, en kN) del pórtico de la figura conociendo los momentos de extremo de barra siguientes:

$$L = 5 + (X/4) \text{ m}; \quad q = 20 + Y \text{ kN/m}; \quad P = qL/4; \quad \text{sección constante}.$$



## Capítulo 13

# Cálculo plástico de pórticos arriostrados

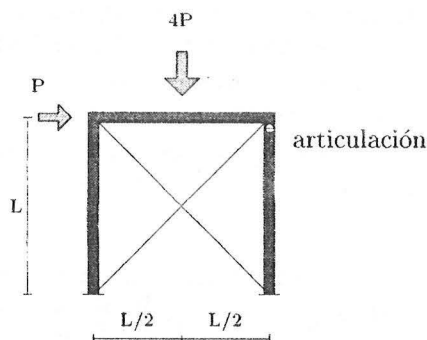
### Ejercicio 13.1

Para el pórtico de la figura, se pide:

Desarrollo del análisis plástico indistintamente por el método estático o cinemático, debiendo escribirse explícitamente todas las ecuaciones que permiten resolver el problema.

Dibujar el mecanismo o mecanismos de colapso, indicando las posiciones de las rótulas plásticas y el sentido de rotación de las mismas.

Datos:  $L=5+(X/9)$  m,  $P=25+X$  kN,  $M_p=\text{cte.}$

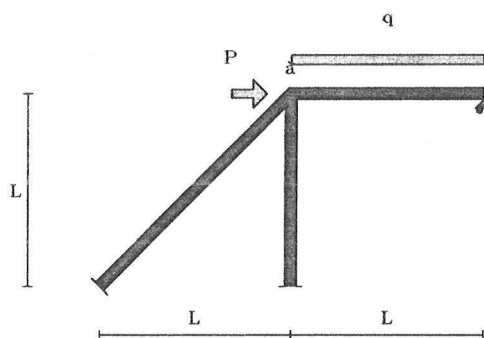


Dibujar y acotar el/un diagrama de flectores de colapso ( $M$ , en kNm), y los correspondientes de esfuerzos axiales ( $N$ , en kN) y cortantes ( $V$ , en kN). Verificar el equilibrio de los nudos.

### Ejercicio 13.2

Resumir el desarrollo del análisis plástico del pórtico de la figura

$L=5+(Y/4)$  m;  $q=20+Z$  kN/m;  $P=q \cdot L/4$ ; sección constante.

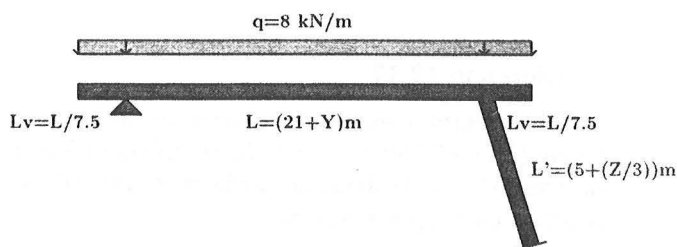


Dibujar y acotar el/un diagrama de flectores de colapso ( $M$ , en kNm), y los correspondientes de esfuerzos axiales ( $N$ , en kN) y cortantes ( $V$ , en kN). Verificar el equilibrio de los nudos.

### Ejercicio 13.3

Se analiza el pórtico representado en la figura por el método estático o cinemático

Datos:  $M_{p,viga}=3 \cdot M_{p,soporte}$



Dibujar y acotar el/un diagrama de flectores de colapso ( $M$ , en kNm), y los correspondientes de esfuerzos axiales ( $N$ , en kN) y cortantes ( $V$ , en kN). Verificar el equilibrio de los nudos.

## Capítulo 14

# Cálculo plástico de pórticos desplazables sencillos

### Ejercicio 14.1

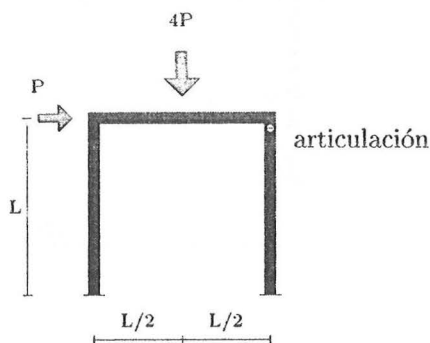
Para el pórtico de la figura, se pide:

Desarrollo del análisis plástico indistintamente por el método estático o cinemático, debiendo escribirse explícitamente todas las ecuaciones que permiten resolver el problema.

Dibujar el mecanismo o mecanismos de colapso, indicando las posiciones de las rótulas plásticas y el sentido de rotación de las mismas.

Dibujar el/un diagrama de flectores de colapso y los correspondientes de esfuerzos cortantes y axiales.

Datos:  $L=5+(X/9)$  m,  $P=25+X$  kN,  $M_{p,viga}=2 \cdot M_{p,soporte}$ .



### Ejercicio 14.2

Para el pórtico de la figura, se pide:

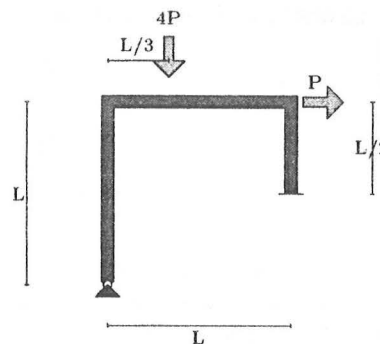
Desarrollo del análisis plástico indistintamente por el método estático o cinemático, debiendo escribirse explícitamente todas las ecuaciones que permiten resolver el problema.

Dibujar el mecanismo o mecanismos de colapso,

indicando las posiciones de las rótulas plásticas y el sentido de rotación de las mismas.

Dibujar el/un diagrama de flectores de colapso y los correspondientes de esfuerzos cortantes y axiales.

Datos:  $L=5+(X/9)$  m,  $P=25+X$  kN,  $M_{p,viga}=1.75 \cdot M_{p,soporte}$ .

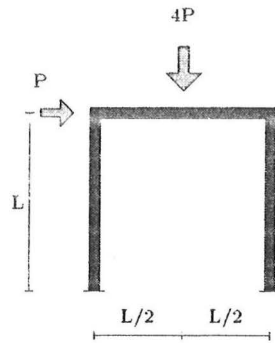


### Ejercicio 14.3

Para el pórtico de la figura, se pide:

Desarrollo del análisis plástico indistintamente por el método estático o cinemático, debiendo escribirse explícitamente todas las ecuaciones que permiten resolver el problema.

Dibujar el mecanismo o mecanismos de colapso, indicando las posiciones de las rótulas plásticas y el sentido de rotación de las mismas.



Dibujar y acotar el/un diagrama de flectores de colapso ( $M$ , en kNm), y los correspondientes de esfuerzos axiales ( $N$ , en kN) y cortantes ( $V$ , en kN). Verificar el equilibrio de los nudos.

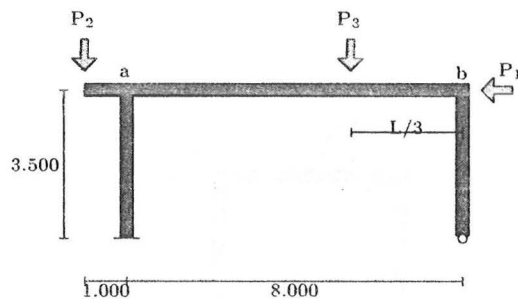
Desarrollo del análisis elástico, debiendo escribirse explícitamente todas las ecuaciones que permiten resolver el problema.

Diagrama de momentos flectores ( $M$ , en kNm)

#### Ejercicio 14.4

Resumir el desarrollo del análisis plástico del pórtico de la figura

$P_1 = (20 + X/2)$  kN;  $P_2 = 5 \cdot P_1$ ;  $P_3 = 10 \cdot P_1$ ; Sección constante.

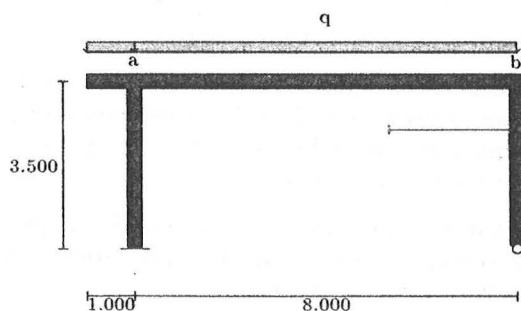


Dibujar y acotar el/un diagrama de flectores de colapso ( $M$ , en kNm), y los correspondientes de esfuerzos axiales ( $N$ , en kN) y cortantes ( $V$ , en kN). Verificar el equilibrio de los nudos.

#### Ejercicio 14.5

Ídem para el pórtico representado en la figura:

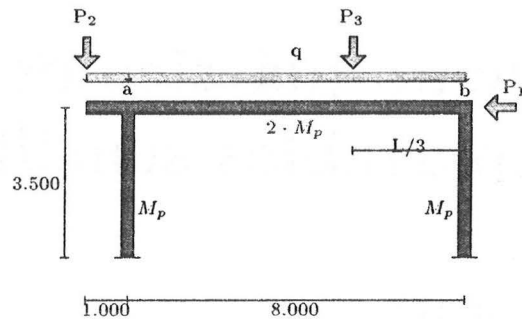
$q = (40 + X)$  kN/m; (HEB 300)



#### Ejercicio 14.6

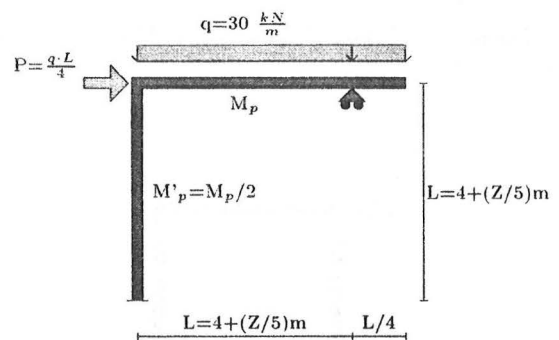
Resumir el desarrollo del análisis plástico del pórtico de la figura

$P_1 = (20 + X/2)$  kN;  $P_2 = 5 \cdot P_1$ ;  $P_3 = 10 \cdot P_1$ ;  $q = (40 + X)$  kN/m.



#### Ejercicio 14.7

Desarrollo del análisis plástico indistintamente por el método estático o cinemático, debiendo escribirse explícitamente todas las ecuaciones que permiten resolver el problema.

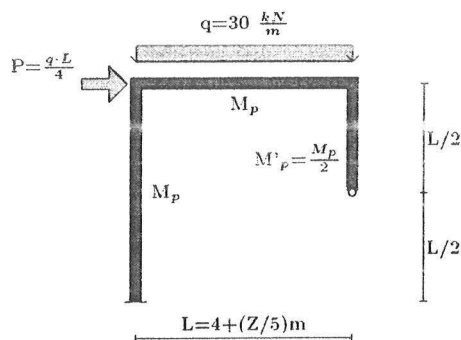


Mecanismo de colapso para las relaciones de  $M_p$  indicadas en la figura.

Dibujar y acotar los diagramas de solicitaciones ( $M$ ,  $V$ ,  $N$ )

#### Ejercicio 14.8

Resumir el desarrollo del análisis plástico del pórtico de la figura



Mecanismo de colapso para las relaciones de  $M_p$  indicadas en la figura.

Dibujar y acotar los diagramas de solicitaciones ( $M$ ,  $V$ ,  $N$ )

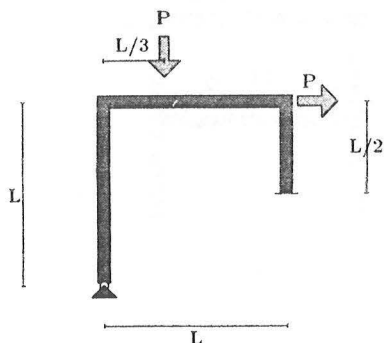
#### Ejercicio 14.9

Para el pórtico de la figura, se pide:

Desarrollo del análisis plástico indistintamente por el método estático o cinemático, debiendo escribirse explícitamente todas las ecuaciones que permiten resolver el problema.

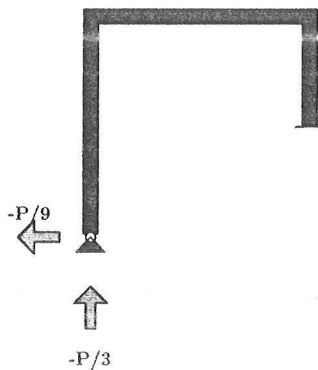
Dibujar el mecanismo o mecanismos de colapso, indicando las posiciones de las rótulas plásticas y el sentido de rotación de las mismas.

Datos:  $P = (100 + Y) \text{ kN}$ ;  $L = (5 + Y/9) \text{ m}$ ; sección constante.



Gráficas acotadas de solicitaciones. Para evitar el posible encadenamiento de errores, se tomarán como válidas las reacciones que se indican. Se evaluará especialmente el carácter equilibrado de la solución obtenida.

Se evaluará especialmente el carácter equilibrado de la solución obtenida.



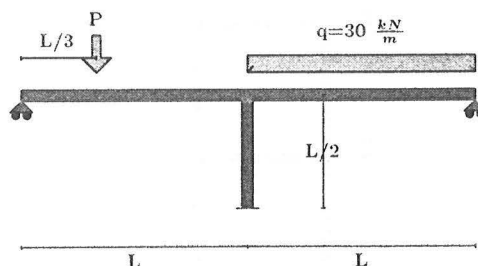
#### Ejercicio 14.10

Para el pórtico de la figura, se pide:

Desarrollo del análisis plástico indistintamente por el método estático o cinemático, debiendo escribirse explícitamente todas las ecuaciones que permiten resolver el problema.

Dibujar el mecanismo o mecanismos de colapso, indicando las posiciones de las rótulas plásticas y el sentido de rotación de las mismas.

Datos:  $P = (100 + Y) \text{ kN}$ ;  $L = (5 + Y/9) \text{ m}$ ;  $q = P/L$ ; sección constante.



Gráficas acotadas de solicitaciones. Para evitar el posible encadenamiento de errores, se tomarán como válidas las reacciones que se indican. Se evaluará especialmente el carácter equilibrado de la solución obtenida.



## Capítulo 15

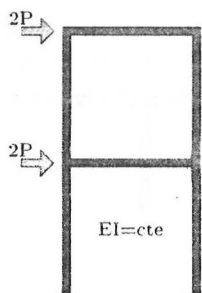
# Pórticos ortogonales de varias plantas.

### Ejercicio 15.1

Para el pórtico de la figura, se pide:

Diagramas acotados de momentos flectores (M en kNm), esfuerzos cortantes (V en kN) y axiles (N en kN).

Datos:  $L=5+(X/9)$  m,  $P=10+X/8$  kN,  $EI=cte$ .

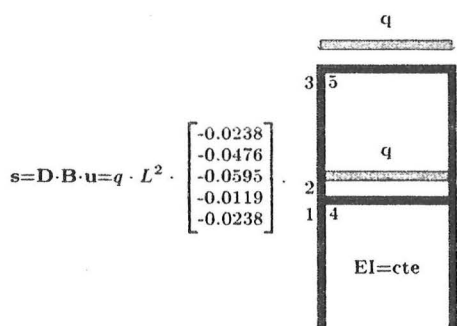


### Ejercicio 15.2

Para el pórtico de la figura, se pide:

Diagramas acotados de momentos flectores (M en kNm), esfuerzos cortantes (V en kN) y axiles (N en kN).

Datos:  $L=5+(X/9)$  m,  $q=35+X/4$  kN/m,  $EI=cte$ .



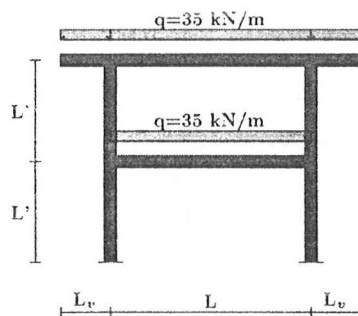
### Ejercicio 15.3

Dibujar los diagramas de solicitaciones para la combinación de las dos hipótesis analizadas.

### Ejercicio 15.4

Se analiza el pórtico representado en la figura por el método de equilibrio.

Datos:  $EI_v=100000$  kNm<sup>2</sup>,  $EI_s=50000$  kNm<sup>2</sup>,  $L=6+(X/9)$  m,  $L_v=L/4$ ,  $L'=L/2$ .



Se pide:

Valor y signo de los giros de los nudos. Vector de movimientos nodales (u).

Momentos totales en los extremos de las barras.

Dibujar y acotar los diagramas de axiles (N, en kN), cortantes (V, en kN) y flectores (M, en kNm). Verificar el equilibrio de los nudos.

### Ejercicio 15.5

Repetir el ejercicio anterior para las acciones horizontales consideradas en el primero.



## Capítulo 16

# Análisis de edificios

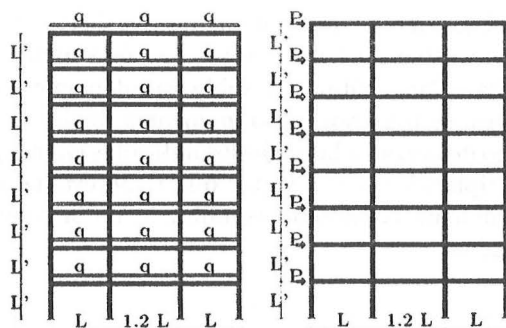
### Ejercicio 16.1

Analizar una subestructura de planta del pórtico representado en la figura por el método de equilibrio, para las acciones indicadas. Deben escribirse explícitamente todas las ecuaciones que permiten resolver el problema.

Dibujar la deformada de forma que se aprecien los sentidos de los movimientos finales de los nudos y el signo de las curvaturas en los diferentes intervalos de las barras.

sección vigas:  $b=0.600\text{ m}$ ,  $h=0.300\text{ m}$   
sección sop.:  $b'=0.250\text{ m}$   $h'=0.450\text{ m}$   
 $b'=0.350\text{ m}$   $h'=0.450\text{ m}$   
 $b'=0.450\text{ m}$   $h'=0.450\text{ m}$

Cargas verticales:  $35\text{ kN/m}$ ; Cargas horizontales:  $\pm 40\text{ kN}$  (sismo);  $L=5+(X/9)\text{ m}$ ;  $L'=3+(X/18)\text{ m}$ ;  $E=2.9\text{E}7\text{ kN/m}^2$ .



Dibujar y acotar los diagramas de solicitaciones (M, en  $\text{kN}\cdot\text{m}$ ; V en  $\text{kN}$ ; N en  $\text{kN}$ ) del pórtico para las dos acciones consideradas.

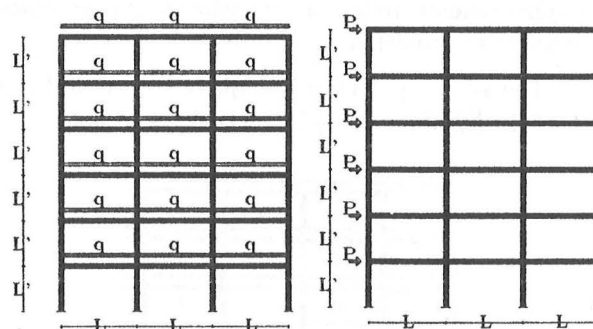
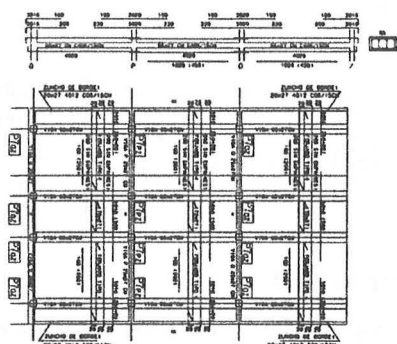
### Ejercicio 16.2

Analizar una subestructura de planta del pórtico representado en la figura indistintamente por el

método de equilibrio o por el método de la compatibilidad, para las acciones indicadas. Deben escribirse explícitamente todas las ecuaciones que permiten resolver el problema.

sección vigas:  $b=0.600\text{ m}$ ,  $h=0.300\text{ m}$   
sección sop.:  $b'=0.250\text{ m}$   $h'=0.450\text{ m}$   
 $b'=0.300\text{ m}$   $h'=0.450\text{ m}$   
 $b'=0.350\text{ m}$   $h'=0.450\text{ m}$

Cargas verticales:  $35\text{ kN/m}$ ; Cargas horizontales:  $\pm 40\text{ kN}$  (sismo);  $L=5+(X/9)\text{ m}$ ;  $L'=3+(X/18)\text{ m}$ ;  $E=2.9\text{E}7\text{ kN/m}^2$ .

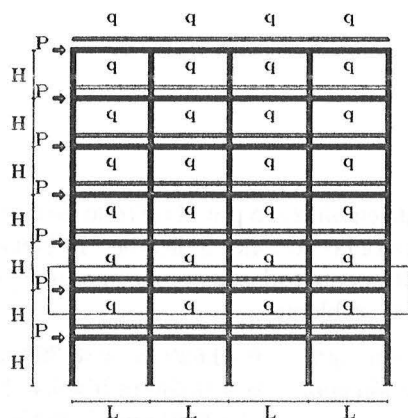


Dibujar y acotar los diagramas de solicitaciones (M, en  $\text{kN}\cdot\text{m}$ ; V en  $\text{kN}$ ; N en  $\text{kN}$ ) del pórtico para las dos acciones consideradas.

**Ejercicio 16.3**

Analizar la subestructura de la planta recuadrada, indistintamente por el método de compatibilidad o por el método de la rigidez. Deben escribirse explícitamente todas las ecuaciones que permiten resolver el problema.

Datos:  $q=35 \cdot (1+(X/30)) \text{ kN/m}$ ;  $P=q \cdot L/20$ ;  
 $L=5 \cdot (1+(X/30)) \text{ m}$ ;  $H=2/3 \cdot L$ ; sección constante.



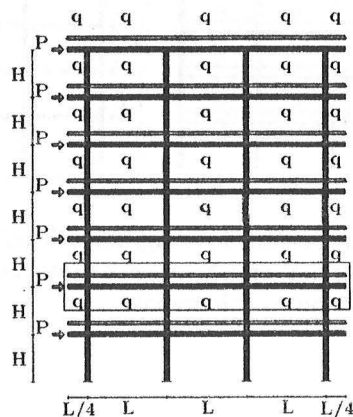
Diagramas acotados de momentos flectores (M, kNm) y esfuerzos cortantes (V, kN) de la planta indicada únicamente para la acción gravitatoria. Para evitar el posible encadenamiento de errores, se tomarán como válidos los giros de los nudos que se indican:

$$u = [\theta_1, \theta_2, 0, -\theta_2, -\theta_1]^t = \frac{q \cdot L^3}{EI} \begin{bmatrix} -0.003815 \\ 0.000293 \\ 0.000000 \\ -0.000293 \\ 0.003815 \end{bmatrix}$$

**Ejercicio 16.4**

Analizar la subestructura de la planta recuadrada, indistintamente por el método de compatibilidad o por el método de la rigidez. Deben escribirse explícitamente todas las ecuaciones que permiten resolver el problema.

Datos:  $q=35 \cdot (1+X/30) \text{ kN/m}$ ;  $P=q \cdot L/20$ ;  
 $L=5(1+X/30) \text{ m}$ ;  $H=2/3 \cdot L$ ; sección constante.



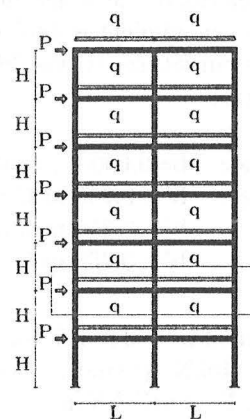
Diagramas acotados de momentos flectores (M, kNm) y esfuerzos cortantes (V, kN) de la planta indicada únicamente para la acción gravitatoria. Para evitar el posible encadenamiento de errores, se tomarán como válidos los giros de los nudos que se indican:

$$u = [\theta_1, \theta_2, -\theta_2, -\theta_1]^t = \frac{q \cdot L^3}{EI} \begin{bmatrix} -0.002385 \\ 0.000199 \\ -0.000199 \\ 0.002385 \end{bmatrix}$$

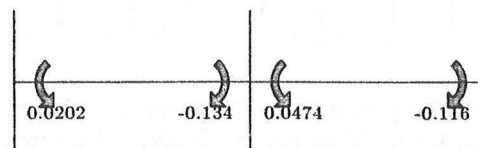
**Ejercicio 16.5**

Analizar la subestructura de la planta recuadrada, indistintamente por el método de compatibilidad o por el método de la rigidez. Deben escribirse explícitamente todas las ecuaciones que permiten resolver el problema.

Datos:  $q=(35+X/3) \text{ kN/m}$ ;  $P=q \cdot L/20$ ;  
 $L=(5+Y/9) \text{ m}$ ;  $H=2/3 \cdot L$ ; sección constante.



Diagramas acotados de momentos flectores (M, kNm) y esfuerzos cortantes (V, kN) de la planta indicada. Para evitar el posible encadenamiento de errores, se tomarán como momentos finales de extremo de barra en las vigas los indicados en la figura (multiplicados por el factor  $q \cdot L^2$ ). Se evaluará especialmente el carácter equilibrado de la solución obtenida.



## Capítulo 17

### Emparrillados

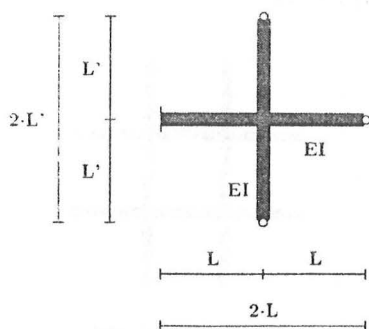
#### Ejercicio 17.1

Para el emparrillado de la figura, se pide:

Desarrollo del análisis elástico indistintamente por el método de compatibilidad o por el método de la rigidez. Deben escribirse explícitamente todas las ecuaciones que permiten resolver el problema.

Dibujar la deformada final de cada una de las vigas, de forma que se aprecien los sentidos de los movimientos finales de los nudos y el signo de las curvaturas en los diferentes intervalos de las barras.

Datos:  $q=10 \cdot (1+Y/18) \text{ kN/m}$  (en ambas direcciones);  $L=L'=3 \cdot (1+Y/18) \text{ m}$ ; sección constante.



Gráficas acotadas de solicitaciones (M, V). Para evitar el posible encadenamiento de errores, se tomarán los siguientes valores: descenso del nudo central  $v=0.1214 \cdot L^4 \cdot q/EI \text{ mm}$ , giro no nulo del nudo central  $\theta=-0.05797 \cdot L^3 \cdot q/EI \text{ rad}$ . Se evaluará especialmente el carácter equilibrado de la solución obtenida.

#### Ejercicio 17.2

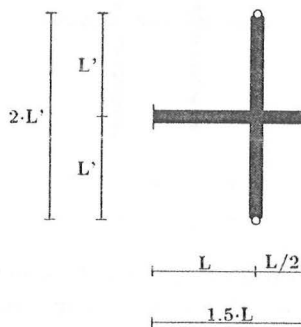
Para el emparrillado de la figura, se pide:

Desarrollo del análisis elástico indistintamente por el método de compatibilidad o por el método

de la rigidez. Deben escribirse explícitamente todas las ecuaciones que permiten resolver el problema.

Dibujar la deformada final de cada una de las vigas, de forma que se aprecien los sentidos de los movimientos finales de los nudos y el signo de las curvaturas en los diferentes intervalos de las barras.

Datos:  $q=10 \cdot (1+Y/18) \text{ kN/m}$  (en ambas direcciones);  $L=L'=3 \cdot (1+Y/18) \text{ m}$ ; sección constante.



Gráficas acotadas de solicitaciones (M, V). Para evitar el posible encadenamiento de errores, se tomarán los siguientes valores: descenso del nudo central  $v=0.2569 \cdot L^4 \cdot q/EI \text{ mm}$ , giro no nulo del nudo central  $\theta=-0.3958 \cdot L^3 \cdot q/EI \text{ rad}$ . Se evaluará especialmente el carácter equilibrado de la solución obtenida.

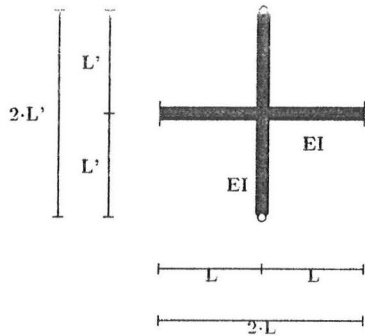
#### Ejercicio 17.3

Para el emparrillado de la figura, se pide:

Desarrollo del análisis elástico indistintamente por el método de compatibilidad o por el método de la rigidez. Deben escribirse explícitamente todas las ecuaciones que permiten resolver el problema.

Dibujar la deformada final de cada una de las vigas, de forma que se aprecien los sentidos de los movimientos finales de los nudos y el signo de las curvaturas en los diferentes intervalos de las barras.

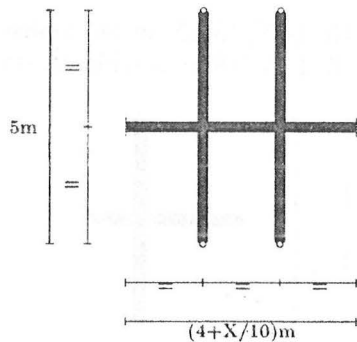
Datos:  $q=(10+Y/18)\text{ kN/m}$  (en ambas direcciones);  $L=L'=(3+Y/18)\text{ m}$ ; sección constante.



Gráficas acotadas de solicitaciones.

#### Ejercicio 17.4

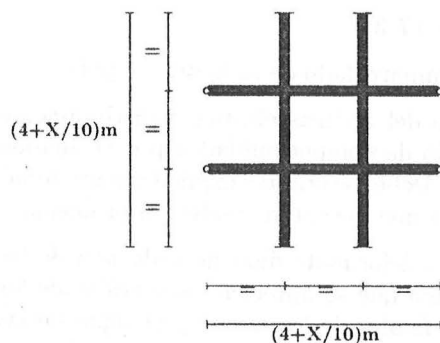
Analizar el emparrillado representado en la figura por el método de compatibilidad o el de la rigidez. Se considera la sección de todos los elementos constante e igual carga por unidad de longitud en todas las vigas,  $q=(8+X/10)\text{ kN/m}$



Dibujar y acotar los diagramas de solicitaciones (M, en kN·m; V en kN) para cada uno de los elementos del emparrillado.

#### Ejercicio 17.5

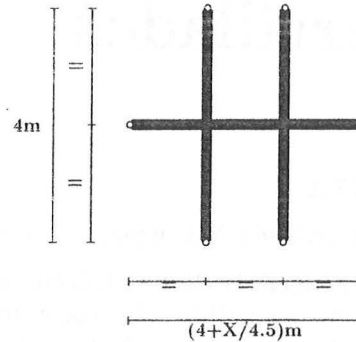
Analizar el emparrillado representado en la figura por el método de compatibilidad o el de la rigidez. Se considera la sección de todos los elementos constante e igual carga por unidad de longitud en todas las vigas,  $q=(8+X/10)\text{ kN/m}$



Dibujar y acotar los diagramas de solicitaciones (M, en kN·m; V en kN) para cada uno de los elementos del emparrillado.

#### Ejercicio 17.6

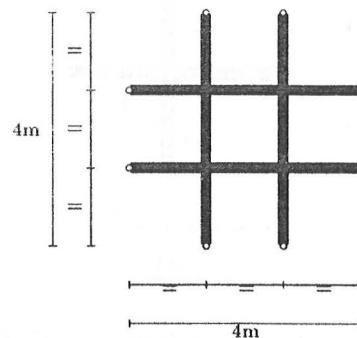
Analizar el emparrillado representado en la figura por el método de la rigidez. Se considera la sección de todos los elementos constante e igual carga por unidad de longitud en todas las vigas,  $q=(8+4/15\cdot X)\text{ kN/m}$



Dibujar y acotar los diagramas de solicitaciones (M, en kN·m; V en kN) para cada uno de los elementos del emparrillado.

#### Ejercicio 17.7

Analizar el emparrillado representado en la figura por el método de la rigidez. Se considera la sección de todos los elementos constante e igual carga por unidad de longitud en todas las vigas,  $q=(6.5+(X/9))\text{ kN/m}$



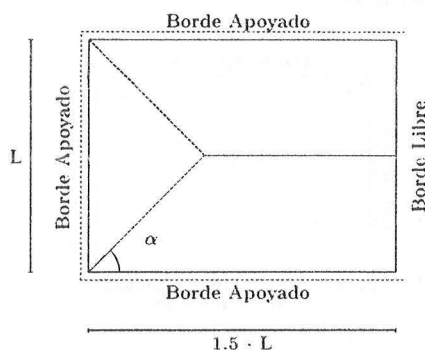
## Capítulo 18

# Placas: análisis por líneas de rotura

### Ejercicio 18.1

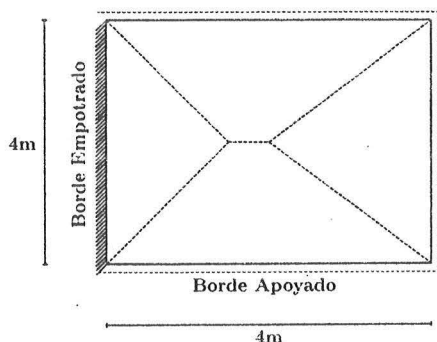
Determinar el momento plástico de la placa de la figura. Se analizará el mecanismo de colapso propuesto por el método cinemático adoptando  $\alpha = (30 + 2 \cdot X)^\circ$

Datos:  $q = (10 + (X/9)) \text{ kN/m}^2$ ;  $L = (5 + X/9) \text{ m}$ ; sección constante.



### Ejercicio 18.2

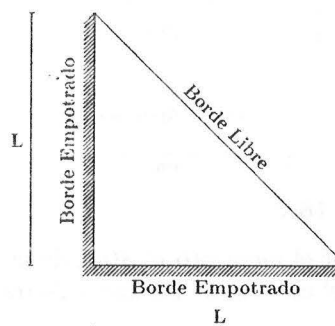
Obtener el valor del momento plástico de la placa de la figura, por el método de las líneas de rotura, para la carga  $q = (10 + (X/9)) \text{ kN/m}^2$  y la configuración de rotura indicada (Se supone igual el momento plástico positivo y negativo)



### Ejercicio 18.3

Cálculo de la placa representada aplicando el método de las líneas de rotura.

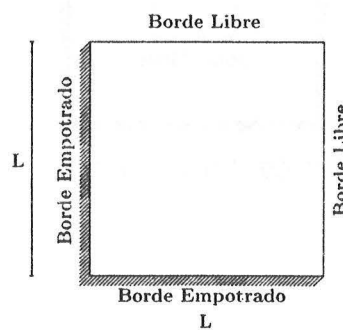
Datos:  $L = 5 + (Y/4) \text{ m}$ ,  $q = 20 + Y \text{ kN/m}^2$ , sección constante.



### Ejercicio 18.4

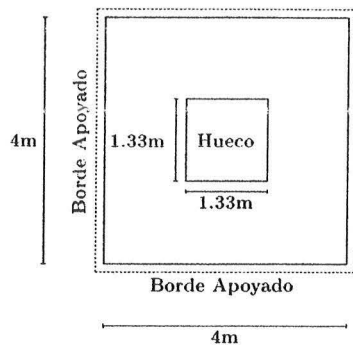
Cálculo de la placa representada aplicando el método de las líneas de rotura.

Datos:  $L = 5 + (Y/4) \text{ m}$ ,  $q = 20 + Y \text{ kN/m}^2$ , sección constante.

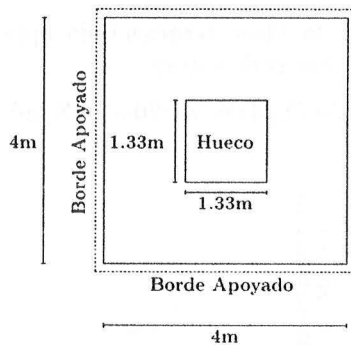


### Ejercicio 18.5

Obtener el valor del momento plástico de la placa de la figura, por el método de las líneas de rotura, para la carga  $q = (10 + (X/9)) \text{ kN/m}^2$

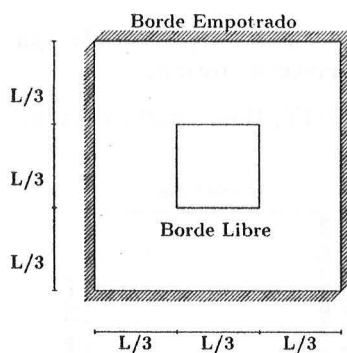
**Ejercicio 18.6**

Obtener el valor del momento plástico de la placa de la figura, por el método de las líneas de rotura, para la carga lineal  $q=(7+(X/9))$  kN/m, situada en el borde del hueco de la placa.

**Ejercicio 18.7**

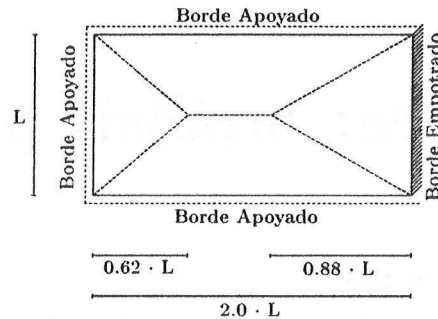
Determinar el momento plástico de la placa de la figura por el método de las líneas de rotura.

Datos:  $q=(10+(X/9))$  kN/m<sup>2</sup>;  $L=(5+X/9)$ m; sección constante.

**Ejercicio 18.8**

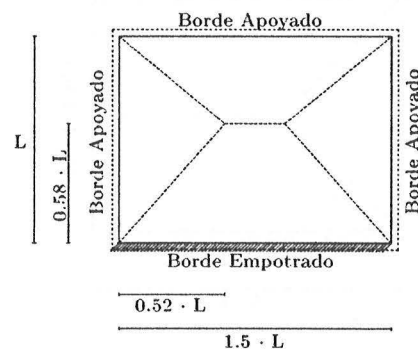
Determinar el momento plástico de la placa de la figura. Se analizará el mecanismo de colapso propuesto por el método cinemático.

Datos:  $q=10 \cdot (1+(X/9))$  kN/m<sup>2</sup>;  $L=5 \cdot (1+(X/9))$ m; sección constante.

**Ejercicio 18.9**

Determinar el momento plástico de la placa de la figura. Se analizará el mecanismo de colapso propuesto por el método cinemático.

Datos:  $q=10 \cdot (1+(X/9))$  kN/m<sup>2</sup>;  $L=5 \cdot (1+(X/9))$ m; sección constante.



# Índice General

1	Estructuras planas trianguladas	1
2	Estructuras trianguladas espaciales	4
3	Cálculo de deformaciones de estructuras trianguladas de barras	5
4	Teoría de arcos	7
5	Solicitaciones en vigas y pórticos isostáticos	10
6	Deformaciones en vigas y pórticos: Método de la carga unidad	13
7	Pórticos isostáticos: problemas no-lineales (inestabilidad, pandeo)	16
8	Cálculo elástico de estructuras de un solo grado de hiperestatismo	18
9	Método de la rigidez: vigas continuas	20
10	Cálculo plástico de vigas hiperestáticas	23
11	Cálculo elástico de pórticos no desplazables (arriostrados)	25
12	Cálculo elástico de pórticos desplazables sencillos	27
13	Cálculo plástico de pórticos arriostrados	32
14	Cálculo plástico de pórticos desplazables sencillos	33
15	Pórticos ortogonales de varias plantas.	36
16	Análisis de edificios	37
17	Emparrillados	39
18	Placas: análisis por líneas de rotura	41

## NOTAS

### Índice General

1	Introducción
2	Definición de los conceptos básicos
3	Objeto de la asignatura y sus contenidos
4	Metodología de la asignatura
5	Organización de la asignatura
6	Temario de la asignatura
7	Temario de la asignatura
8	Temario de la asignatura
9	Temario de la asignatura
10	Temario de la asignatura
11	Temario de la asignatura
12	Temario de la asignatura
13	Temario de la asignatura
14	Temario de la asignatura
15	Temario de la asignatura
16	Temario de la asignatura
17	Temario de la asignatura
18	Temario de la asignatura
19	Temario de la asignatura
20	Temario de la asignatura
21	Temario de la asignatura
22	Temario de la asignatura
23	Temario de la asignatura
24	Temario de la asignatura
25	Temario de la asignatura
26	Temario de la asignatura
27	Temario de la asignatura
28	Temario de la asignatura
29	Temario de la asignatura
30	Temario de la asignatura
31	Temario de la asignatura
32	Temario de la asignatura
33	Temario de la asignatura
34	Temario de la asignatura
35	Temario de la asignatura
36	Temario de la asignatura
37	Temario de la asignatura
38	Temario de la asignatura
39	Temario de la asignatura
40	Temario de la asignatura
41	Temario de la asignatura
42	Temario de la asignatura
43	Temario de la asignatura
44	Temario de la asignatura
45	Temario de la asignatura
46	Temario de la asignatura
47	Temario de la asignatura
48	Temario de la asignatura
49	Temario de la asignatura
50	Temario de la asignatura
51	Temario de la asignatura
52	Temario de la asignatura
53	Temario de la asignatura
54	Temario de la asignatura
55	Temario de la asignatura
56	Temario de la asignatura
57	Temario de la asignatura
58	Temario de la asignatura
59	Temario de la asignatura
60	Temario de la asignatura
61	Temario de la asignatura
62	Temario de la asignatura
63	Temario de la asignatura
64	Temario de la asignatura
65	Temario de la asignatura
66	Temario de la asignatura
67	Temario de la asignatura
68	Temario de la asignatura
69	Temario de la asignatura
70	Temario de la asignatura
71	Temario de la asignatura
72	Temario de la asignatura
73	Temario de la asignatura
74	Temario de la asignatura
75	Temario de la asignatura
76	Temario de la asignatura
77	Temario de la asignatura
78	Temario de la asignatura
79	Temario de la asignatura
80	Temario de la asignatura
81	Temario de la asignatura
82	Temario de la asignatura
83	Temario de la asignatura
84	Temario de la asignatura
85	Temario de la asignatura
86	Temario de la asignatura
87	Temario de la asignatura
88	Temario de la asignatura
89	Temario de la asignatura
90	Temario de la asignatura
91	Temario de la asignatura
92	Temario de la asignatura
93	Temario de la asignatura
94	Temario de la asignatura
95	Temario de la asignatura
96	Temario de la asignatura
97	Temario de la asignatura
98	Temario de la asignatura
99	Temario de la asignatura
100	Temario de la asignatura

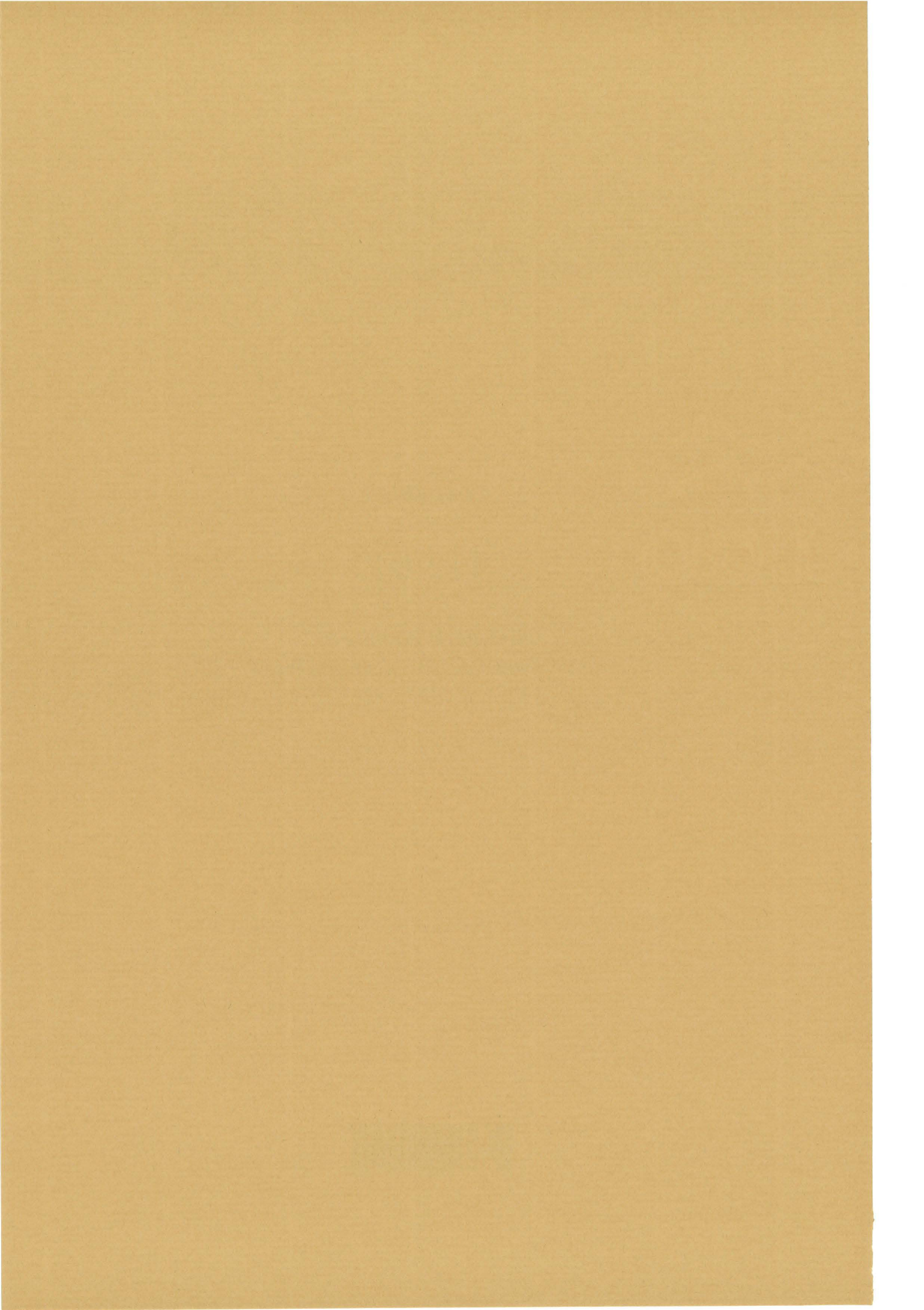


## NOTAS

---

## NOTAS

---





**CUADERNO**

**113.01**

**CATÁLOGO Y PEDIDOS EN**

<http://www.aq.upm.es/of/jherrera>  
[jherrera@aq.upm.es](mailto:jherrera@aq.upm.es)

